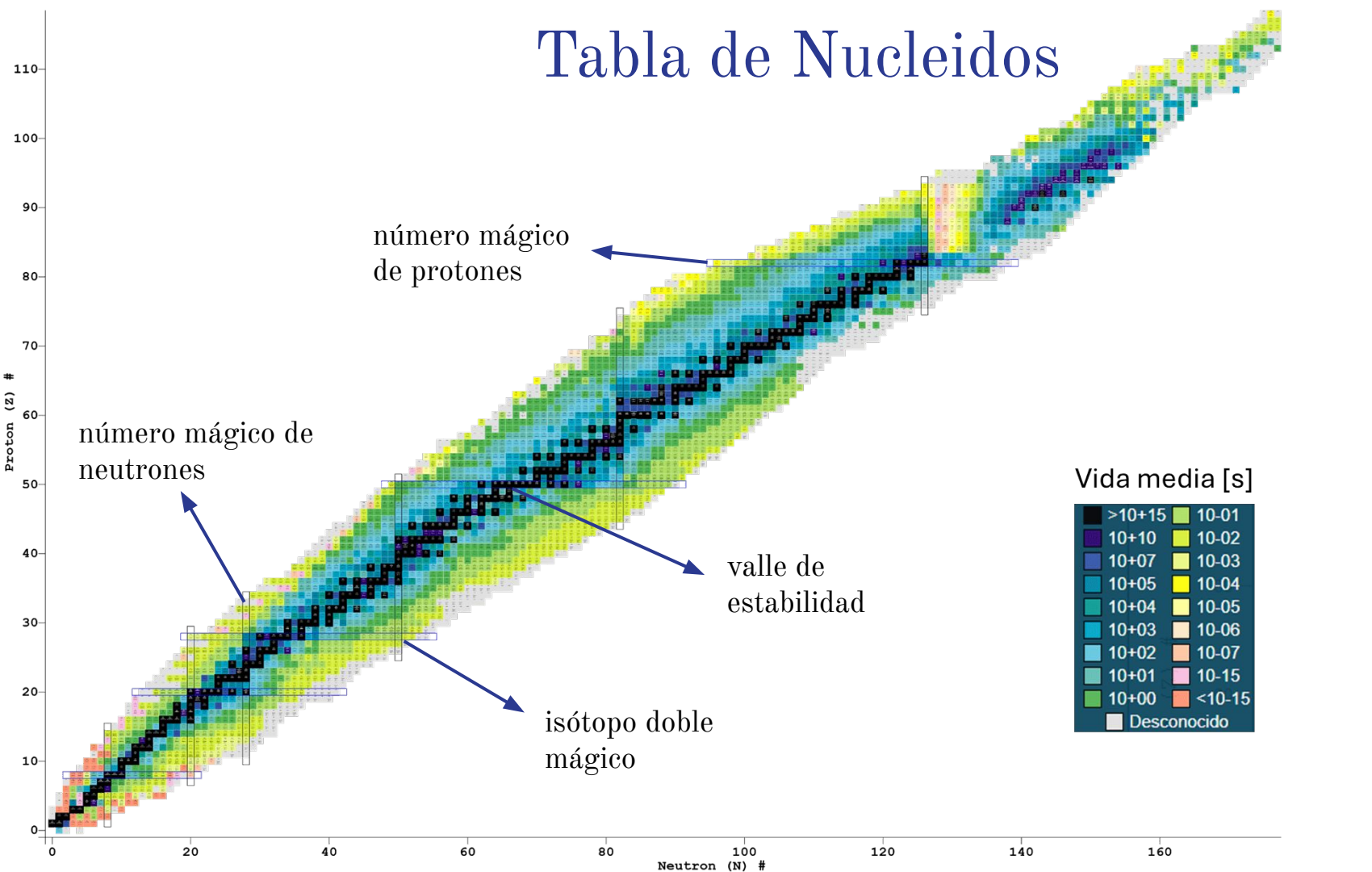
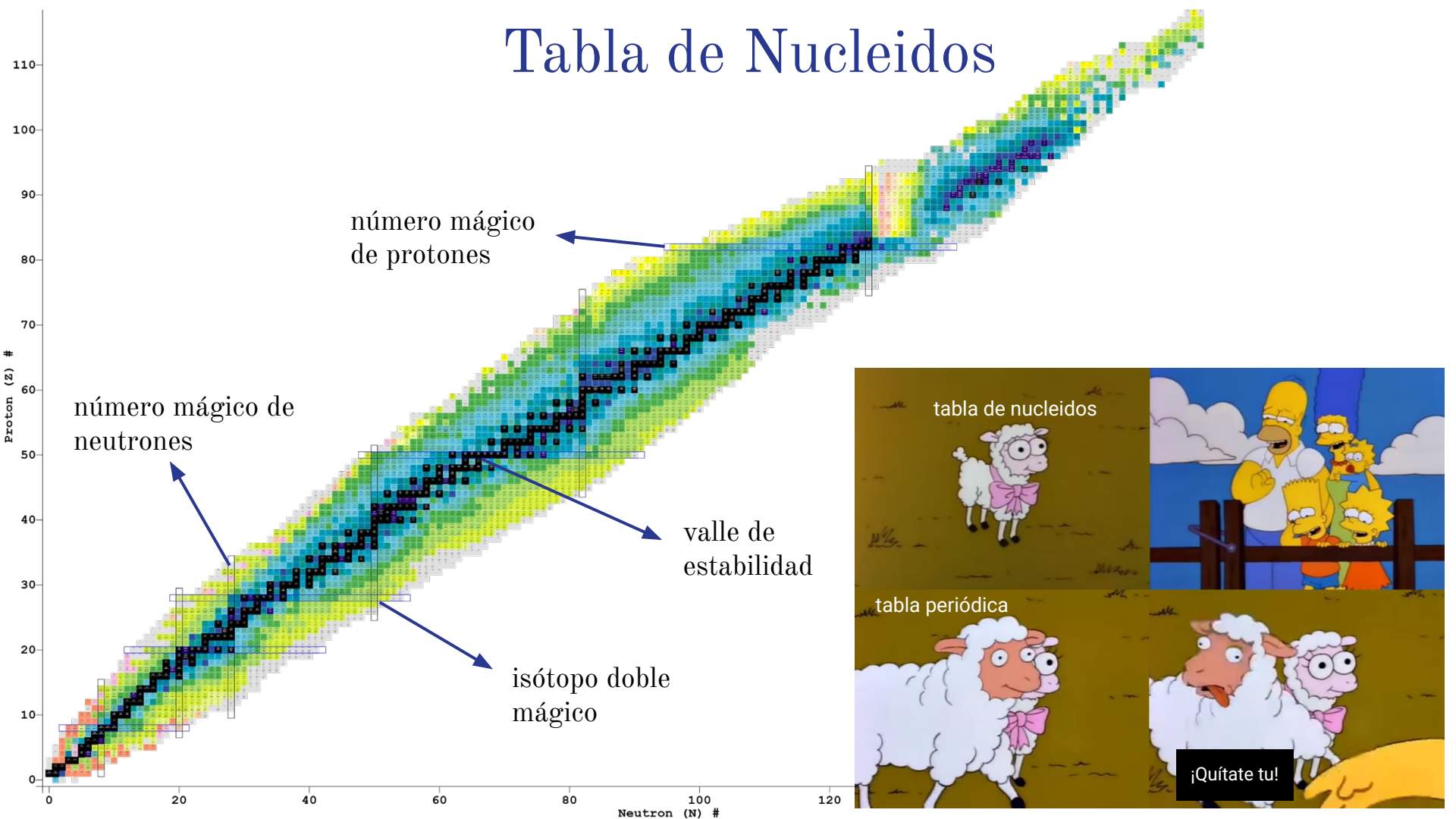
Cálculo microscópico del núcleo exótico 280 como un sistema de cinco cuerpos

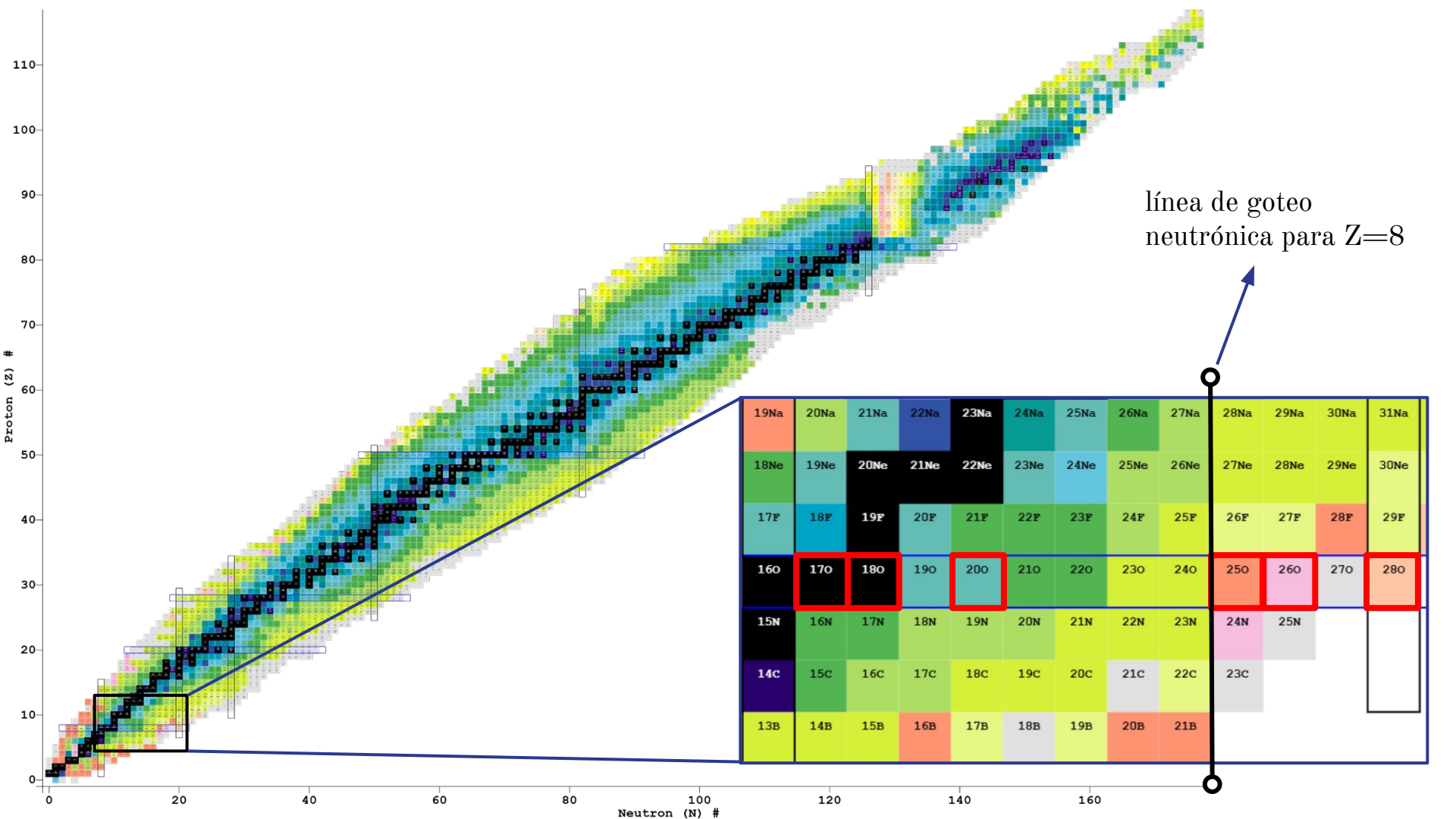
En este trabajo se estudió la estructura nuclear de los isótopos del Oxígeno 170, 180, 200, 250, 260 y 280. Para esto se usa el modelo de capas de Gamow (GSM), en la aproximación de campo medio, con energías complejas, denominada representación de Berggren.

Índice









Modelo de capas nuclear

 U_{ij} : potencial entre pares de nucleones

 T_i : energía cinética

 $V(r_i)$: campo medio

$$V_{res} = \sum_{i < j=1}^{A} U_{ij} - \sum_{i=1}^{A} V(r_i)$$
$$H_0 = \sum_{i=1}^{A} h(\mathbf{r}_i)$$

hes
$$H = \sum_{i=1}^{A} T_i + \sum_{i=1}^{A} U_{ij}$$

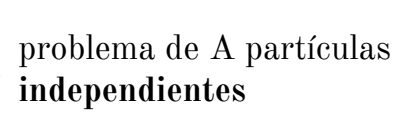
$$H = \sum_{i=1}^{A} T_i + \sum_{i=1}^{A} V(r_i) - \sum_{i=1}^{A} V(r_i) + \sum_{i< j=1}^{A} U_{ij}$$

$$H = \sum_{i=1}^{A} \left(-\frac{\hbar^2}{2\mu_i} \nabla_{r_i}^2 + V(r_i) \right) + \sum_{i< j=1}^{A} U_{ij} - \sum_{i=1}^{A} V(r_i)$$

$$H = \sum_{i=1}^{A} h(\mathbf{r}_i) + \sum_{i< j=1}^{A} U_{ij} - \sum_{i=1}^{A} V(r_i)$$

Las autofunciones de \mathbf{H} se obtienen con el determinante de Slater de las autofunciones de los $h\left(\mathbf{r}_{i}\right)$

$$H = H_0 + V_{res}$$



un clásico, eso es lo que es

estudiante

¿qué rayos es esa cosa?

problema de A partículas

interactuantes
licenciado

Modelo de capas de partícula simple

 $\mathbf{L}_z Y_{lm_l} = \hbar m_l Y_{lm_l}$ $\mathbf{S}^2 \chi_{m_s} = \hbar^2 s(s+1) \chi_{m_s}$

 $\mathbf{L}^2 Y_{lm_l} = \hbar^2 l(l+1) Y_{lm_l}$

$$h\left(\mathbf{r}\right) = -\frac{\hbar^{2}}{2\mu}\nabla_{r}^{2} + V(r) \xrightarrow{\text{esf\'ericas}} h\left(\mathbf{r}\right) = -\frac{\hbar^{2}}{2\mu r^{2}}\frac{\partial}{\partial r}\left(r^{2}\frac{\partial}{\partial r}\right) + \frac{\mathbf{L}^{2}}{2\mu r^{2}} + V(r)$$
 autoestados de h(r)

autoestados de h(
$$\mathbf{r}$$
)
$$\psi_{nlm_lm_s}(\mathbf{r},s) = \frac{1}{r}u_{nl}\left(r\right)Y_{lm_l}\left(\hat{r}\right)\chi_{m_s}$$

 $\mathbf{S}_z \chi_{m_s} = \hbar m_s \chi_{m_s}$

depende de la elección de V(r)

 $h(\mathbf{r}) \psi_{nlm_lm_s}(\mathbf{r}, s) = E_{nl} \psi_{nlm_lm_s}(\mathbf{r}, s)$ separación de variables $\left\| -\frac{\hbar^2}{2\mu} \frac{d^2}{dr^2} + \frac{l(l+1)\hbar^2}{2\mu r^2} + V(r) \right| u_{nl}(r) = E_{nl} u_{nl}(r)$

ecuación de autoestados de h(r)

Potenciales nucleares

$$V_{WS}\left(r
ight)=rac{-V_{0}}{1+e^{rac{r-R}{a}}}$$
 $R=r_{0}A^{rac{1}{3}}\longrightarrow ext{radio nuclear}$ $\left(r_{0} ext{ radio reducido}
ight)$ $V_{SO}\left(r
ight)=rac{-V_{SO}}{r}rac{d}{dr}\left(rac{1}{1+e^{rac{r-R}{a}}}
ight)$ $a\longrightarrow ext{difusividad}$

Hamiltoniano de partícula simple en interacción con un carozo

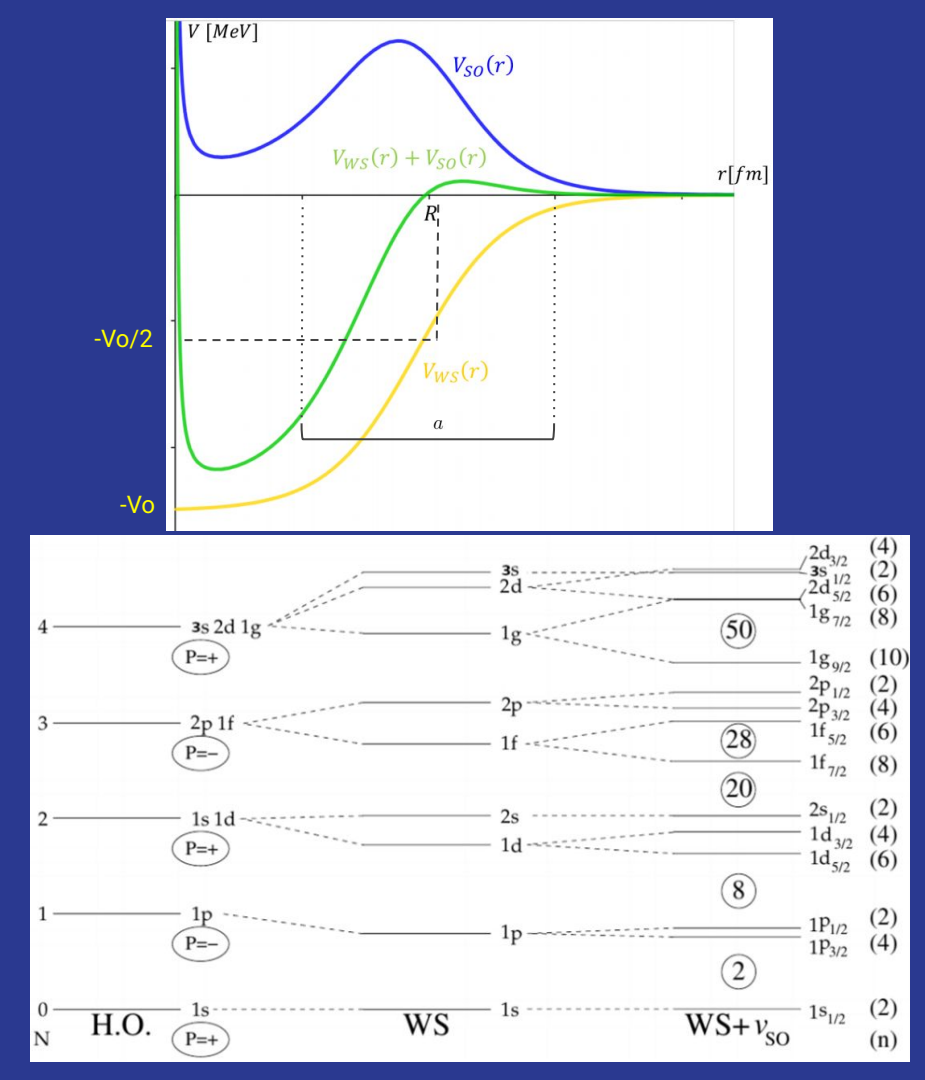
$$h\left(r\right) = -\frac{\hbar^{2}}{2\mu} \frac{d^{2}}{dr^{2}} + \frac{l(l+1)\hbar^{2}}{2\mu r^{2}} + V_{WS}(r) + V_{SO}(r)\mathbf{L} \cdot \mathbf{S}$$

$$\mathbf{L} \cdot \mathbf{S} = \frac{1}{2} \left(\mathbf{J}^{2} - \mathbf{L}^{2} - \mathbf{S}^{2}\right) \qquad \left(\mathbf{J} = \mathbf{L} + \mathbf{S}\right)$$
autoestado de h(r) de onda con acoplamiento J
$$\psi_{nljm}(\mathbf{r}, s) = \frac{u_{nlj}\left(r\right)}{r} \sum_{m_{s}, m_{l}} \left\langle sm_{s}lm_{l}|jm\right\rangle Y_{lm_{l}}\left(\hat{r}\right) \chi_{s}(m_{s})$$

Ecuación diferencial de las u(r)

$$\left[-\frac{\hbar^2}{2\mu} \frac{d^2}{dr^2} + \frac{l(l+1)\hbar^2}{2\mu r^2} + V_{WS}(r) + V_{SO}(r) \frac{z}{2} \right] u_{nlj}(r) = E_{nlj} u_{nlj}(r)$$

$$\left[z = l, \quad \text{para } j = l + \frac{1}{2}, \quad \text{y} \quad z = -(l+1), \quad \text{para } j = l - \frac{1}{2} \right]$$



Soluciones de la ecuación radial

$$\left[-\frac{\hbar^2}{2\mu} \frac{d^2}{dr^2} + \frac{l(l+1)\hbar^2}{2\mu r^2} + V(r) \right] u_{nl}(r) = E_{nl} u_{nl}(r) \longrightarrow \left[-\frac{d^2}{dr^2} + \frac{l(l+1)}{r^2} + \frac{2\mu}{\hbar^2} V(r) \right] u_l(k,r) = k^2 u_l(k,r)$$

$$\int_0^\infty r |V(r)| dr < \infty$$

$$V(r) \equiv 0, \quad r > d > 0$$
 regular: $\varphi_l(k,r) \longrightarrow \lim_{r \to 0} \frac{(2l+1)!!}{r^{l+1}} \varphi_l(k,r) = 1$ condiciones de contorno irregular LI: $f_{l+}(k,r) \neq f_{l-}(k,r) \longrightarrow \lim_{r \to \infty} e^{\mp ikr} f_{l\pm}(k,r) = i^l$
$$f_{l+}(k,r) \xrightarrow[r \to \infty]{} e^{\pm ikr + i\frac{\pi}{2}l} \longrightarrow f_{l-}(k,r) \text{ entrante}$$

 $\varphi_{l}(k,r) = \frac{i}{2k^{l+1}} \left[\mathfrak{F}_{l}(-k) f_{l+}(k,r) - (-1)^{l} \mathfrak{F}_{l}(k) f_{l-}(k,r) \right]$ $\left[f_{l\pm}(k,r) \xrightarrow[r\to\infty]{} e^{\pm ikr + i\frac{\pi}{2}l} \right]$ $u_l(k,r) \propto \varphi_l\left(k,r\right) \underset{r \to \infty}{\longrightarrow} \frac{i}{2k^{l+1}} \left[\mathfrak{F}_l\left(-k\right) e^{ikr} - (-1)^l \, \mathfrak{F}_l\left(k\right) e^{-ikr} \right] \left| \begin{array}{c} \text{Estados de dispersion} \\ \text{dispersion} \end{array} \right|$ Estados ligados $\begin{cases} \textbf{solo saliente} \\ k = k_n = i |k_n| \\ \textbf{E < 0 discreta} \end{cases} \quad \mathfrak{F}_l\left(k_n\right) = 0 \quad \left(\textbf{polos de} \ S_l\left(k\right) = \frac{\mathfrak{F}_l\left(-k\right)}{\mathfrak{F}_l\left(k\right)} \right)$ Estables los **estados ligados** y **estados de dispersión** NO describen **Problema** a los isótopos inestables de la tabla de nucleidos

 $f_{l+}(k,r)$ y $f_{l-}(k,r)$ soluciones LI

Función de Jost

 $\mathfrak{F}_{l\pm}(k) = \lim_{r\to 0} \frac{(kr)^l f_{l\pm}(k,r)}{(2l-1)!!}$

 $\mathfrak{F}_{l-}(k) = \mathfrak{F}_{l+}(-k) = \mathfrak{F}_{l}(-k)$

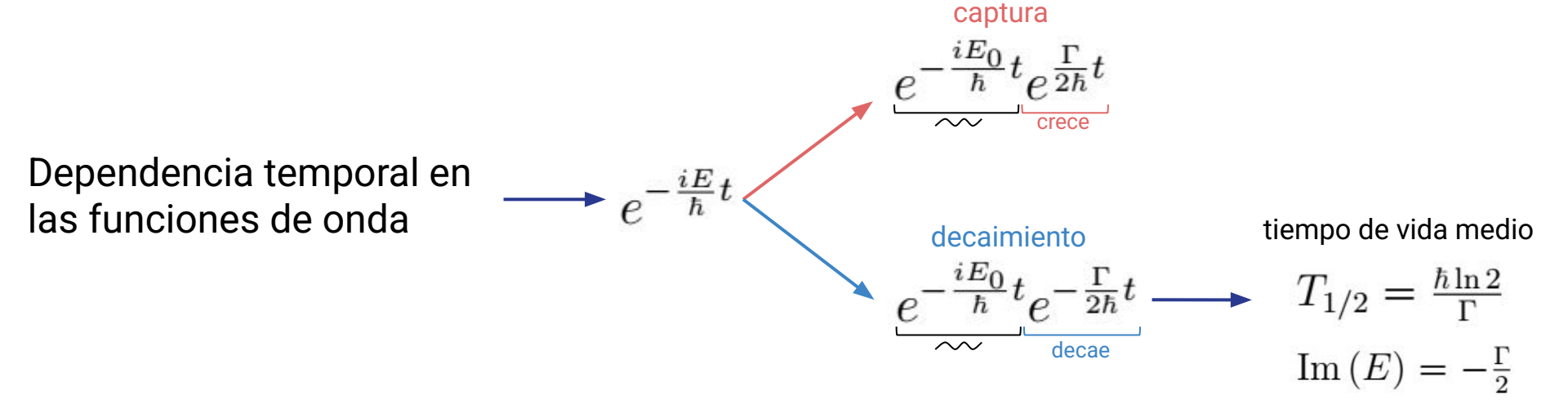
Resonancias o vectores de Gamow

Estados ligados
$$\begin{cases} solo saliente \\ k = k_n = i \, |k_n| \end{cases}$$
 E < 0 discreta
$$\begin{cases} solo saliente \\ k \text{ complejo} \end{cases}$$
 E compleja discreta
$$con \, Re(E) > 0$$

Dos tipos de Resonancias:

- Decaimiento
$$\longrightarrow k = \eta - i\gamma$$
 $\longrightarrow E = \frac{\hbar^2}{2\mu} \left[(\eta^2 - \gamma^2) - i2\eta\gamma \right] = E_0 - i\frac{1}{2}\Gamma$ $\begin{cases} E_0 \gg \Gamma & \text{angosta} \\ E_0 \sim \Gamma & \text{ancha} \end{cases}$ $\begin{cases} \gamma > 0 \text{ y } \eta > 0 \end{cases}$ - Captura $\longrightarrow \widetilde{k} = -k^* = -\eta - i\gamma$ $\longrightarrow E = \frac{\hbar^2}{2\mu} \left[(\eta^2 - \gamma^2) + i2\eta\gamma \right] = E_0 + i\frac{1}{2}\Gamma$

ento
$$\longrightarrow k = \eta - i\gamma \longrightarrow E = \frac{\kappa}{2\mu} \left[(\eta^2 - \gamma^2) - i2\eta\gamma \right] = E_0 - i\frac{1}{2}\Gamma$$
 $\left[\gamma > 0 \text{ y } \eta > 0 \right]$



Ya encontramos nuestra descripción para los isótopos inestables

Los **estados ligados** son discretos y forman una **base ortonormal**
$$\sum_{n}u_{nl}\left(r^{\prime}\right) u_{nl}\left(r\right) \equiv\mathbb{I}$$

¿Si sumo las **resonancias** y **estados de dispersión** a la base de

autoestados sigue siendo **ortonormal**?
 Completitud de Newton
$$\sum u_{nl}\left(r'\right)u_{nl}\left(r\right) + \int_{0}^{\infty}\omega_{l}^{*}\left(E,r'\right)\omega_{l}\left(E,r\right)dE = \delta\left(r-r'\right)$$

$$\sum_{n} u_{nl}\left(r'\right) u_{nl}\left(r\right) + \int_{0}^{\infty} \omega_{l}^{*}\left(E,r'\right) \omega_{l}\left(E,r\right) dE = \delta\left(r-r'\right)$$
 estados ligados estados de dispersión (E > 0)

Completitud de Berggren
$$\sum_{n} u_{nl}\left(r'\right) u_{nl}\left(r\right) + \sum_{n} \phi_{nl}\left(r'\right) \phi_{nl}\left(r\right) + \int_{L^{+}} \widetilde{\omega}_{l}^{*}\left(r',E\right) \omega_{l}\left(r,E\right) dE = \delta\left(r-r'\right)$$
 estados ligados resonancias estados de dispersión
$$\sqrt{\text{para la computadora}}$$

$$\int_{L^{+}} \widetilde{\omega}_{l}^{*}\left(r',E\right) \omega_{l}\left(r,E\right) dE = \sum_{p} h_{p} \widetilde{\omega}_{pl}^{*}\left(r',E_{p}\right) \omega_{pl}\left(r,E_{p}\right)$$

$$|Im\left(E\right) |$$

Modelo de capas con dos partículas de valencia

Hamiltoniano

autofunciones de h(r) (representación de Berggren)

$$H = H_0 + V_{res}(\mathbf{r}_1, \mathbf{r}_2)$$

$$H_0 = h(\mathbf{r}_1) + h(\mathbf{r}_2)$$

$$h(\mathbf{r}_i) = -\frac{\hbar^2}{2\mu} \nabla_{\mathbf{r}_i}^2 + V(r_i)$$

$$\psi_{nljm}(\mathbf{r}, s) = \frac{u_{nlj}(r)}{r} \sum_{m_s, m_l} \langle sm_s lm_l | jm \rangle Y_{lm_l}(\hat{r}) \chi_s(m_s)$$

$$\psi_{am_a}(\mathbf{r}, s) = \frac{u_a(r)}{r} \left[\chi_s Y_{l_a}(\hat{r}) \right]_{j_a m_a}$$

autofunciones de **Ho** normalizada y antisimetrizada (**acople** j j)

$$H_0 \left| \Psi_{ab}^{JM} \right\rangle = (\varepsilon_a + \varepsilon_b) \left| \Psi_{ab}^{JM} \right\rangle$$
$$\left\langle \Psi_{cd}^{JM} \middle| \Psi_{ab}^{JM} \right\rangle = \delta_{ac} \delta_{bd}$$

$$\left[\mathbf{x} = (\mathbf{r}, s)\right]$$

$$\Psi_{ab}^{JM}\left(\mathbf{x}_{1}, \mathbf{x}_{2}\right) = \frac{1}{\sqrt{2\left(1+\delta_{ab}\right)}} \left\{ \left[\psi_{a}\left(\mathbf{x}_{1}\right)\psi_{b}\left(\mathbf{x}_{2}\right)\right]_{JM} - \left[\psi_{a}\left(\mathbf{x}_{2}\right)\psi_{b}\left(\mathbf{x}_{1}\right)\right]_{JM} \right\}$$

autofunciones de H $\begin{array}{c} \longrightarrow H \mid \Psi_{NJM} \rangle = E_N \mid \Psi_{NJM} \rangle \\ = E$

Hay distintas formas de aproximar $V_{res}({f r}_1,{f r}_2)$

1 763(17/2)

Interacción central y separable
$$V_{res}\left(\mathbf{r}_{1},\mathbf{r}_{2}\right)=V_{se}\left(\mathbf{r}_{1},\mathbf{r}_{2}\right)P_{se}+V_{to}\left(\mathbf{r}_{1},\mathbf{r}_{2}\right)P_{to}$$

$$V_{res}\left(\mathbf{r}_{1},\mathbf{r}_{2}\right)=V_{se}\left(\mathbf{r}_{1},\mathbf{r}_{2}\right)P_{se}+V_{to}\left(\mathbf{r}_{1},\mathbf{r}_{2}\right)P_{to}$$

$$S\in\left\{ 0,1\right\} \text{ (espín total)}$$

$$\lambda\in\left\{ se,to\right\}$$

Modelo de capas con cuatro partículas de valencia

Hamiltoniano

autofunciones de h(r) (representación de Berggren)

$$H = H_0 + V_{res}$$

$$H_0(\mathbf{r}_1, \mathbf{r}_2, \mathbf{r}_3, \mathbf{r}_4) = H_1(\mathbf{r}_1, \mathbf{r}_2) + H_2(\mathbf{r}_3, \mathbf{r}_4)$$

$$H_1(\mathbf{r}_1, \mathbf{r}_2) = h(\mathbf{r}_1) + h(\mathbf{r}_2) + V(\mathbf{r}_1, \mathbf{r}_2)$$

$$H_2(\mathbf{r}_3, \mathbf{r}_4) = h(\mathbf{r}_3) + h(\mathbf{r}_4) + V(\mathbf{r}_3, \mathbf{r}_4)$$

$$V_{\text{res}} = V(\mathbf{r}_1, \mathbf{r}_3) + V(\mathbf{r}_1, \mathbf{r}_4) + V(\mathbf{r}_2, \mathbf{r}_3) + V(\mathbf{r}_2, \mathbf{r}_4)$$

$$V(\mathbf{r}_1, \mathbf{r}_3) = V(\mathbf{r}_1, \mathbf{r}_4) = V(\mathbf{r}_2, \mathbf{r}_3) = V(\mathbf{r}_2, \mathbf{r}_4)$$

$$\left[\mathbf{x} = (\mathbf{r}, s)\right]$$

$$h(\mathbf{r})\psi_{\alpha}(\mathbf{x}) = \epsilon_{\alpha}\psi_{\alpha}(\mathbf{x})$$

$$\psi_{\alpha}(\mathbf{x}) = \frac{u_{\alpha}(r)}{r} [\chi_s Y_{l_{\alpha}}(\hat{r})]_{j_{\alpha}m_{\alpha}}$$

autofunciones de los **hamiltonianos de dos partículas**

$$H(\mathbf{r}, \mathbf{r}')\Psi^{JM}(\mathbf{x}, \mathbf{x}') = \epsilon_J \Psi^{JM}(\mathbf{x}, \mathbf{x}')$$

$$\Psi^{JM}(\mathbf{x}, \mathbf{x}') = \sum_{a \le b} X_{ab}^J \Psi_{ab}^{JM}(\mathbf{x}, \mathbf{x}')$$

$$\Psi_{ab}^{JM}(\mathbf{x}, \mathbf{x}') = \frac{1}{\sqrt{2(1+\delta_{ab})}} \left[\left[\psi_a(\mathbf{x})\psi_b(\mathbf{x}') \right]_{JM} - \left[\psi_a(\mathbf{x}')\psi_b(\mathbf{x}) \right]_{JM} \right]$$

autofunciones de **Ho** (acople j j) para cuatro partículas

$$H_0(\mathbf{r}_1, \mathbf{r}_2, \mathbf{r}_3, \mathbf{r}_4)\varphi_{J_1, J_2}^{JM}(\mathbf{x}_1, \mathbf{x}_2, \mathbf{x}_3, \mathbf{x}_4) = E_J\varphi_{J_1, J_2}^{JM}(\mathbf{x}_1, \mathbf{x}_2, \mathbf{x}_3, \mathbf{x}_4)$$

$$\varphi_{J_1,J_2}^{JM}(\mathbf{x}_1,\mathbf{x}_2,\mathbf{x}_3,\mathbf{x}_4) = [\Psi^{J_1}(\mathbf{x}_1,\mathbf{x}_2)\Psi^{J_2}(\mathbf{x}_3,\mathbf{x}_4)]_{JM}$$

$$\varphi_{JM}(\mathbf{x}_1, \mathbf{x}_2, \mathbf{x}_3, \mathbf{x}_4) = \sum_{J_1, J_2} Z_{J_1, J_2}^J \varphi_{J_1, J_2}^{JM}(\mathbf{x}_1, \mathbf{x}_2, \mathbf{x}_3, \mathbf{x}_4)$$

Problems

Problema

ecuación secular

ecuación secular
$$|| J_1 + E_{J_2} - E_J) \delta_{J_1 J_1'} \delta_{J_2 J_2'} + 4 \langle \varphi_{J_1, J_2}^{JM} | V(\mathbf{r}_1, \mathbf{r}_3) | \varphi_{J_1', J_2'}^{JM} \rangle \Big] Z_{J_1', J_2'}^J = 0$$

$$\sum_{J'_1,J'_2} \left[(E_{J_1} + E_{J_2} - E_J) \delta_{J_1 J'_1} \delta_{J_2 J'_2} + 4 \langle \varphi_{J_1,J_2}^{JM} | V(\mathbf{r}_1, \mathbf{r}_3) | \varphi_{J'_1,J'_2}^{JM} \rangle \right] Z_{J'_1,J'_2}^J = 0$$

$$V_{\text{res}}(\mathbf{r}, \mathbf{r}') = V_{se}(\mathbf{r}, \mathbf{r}') P_{se} + V_{to}(\mathbf{r}, \mathbf{r}') P_{to}$$

$$V_{\lambda}(\mathbf{r}, \mathbf{r}') = V_{\lambda} e^{-\frac{|\mathbf{r} - \mathbf{r}'|^2}{\beta_{\lambda}^2}}$$

$$V_{\lambda}(\mathbf{r}, \mathbf{r}') = V_{\lambda} e^{-\frac{|\mathbf{r} - \mathbf{r}'|^2}{\beta_{\lambda}^2}}$$

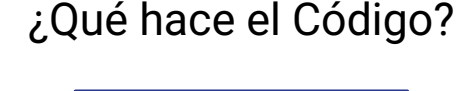
$$T = 1 \text{ (isospín total)}$$

$$S \in \{0, 1\} \text{ (espín total)}$$

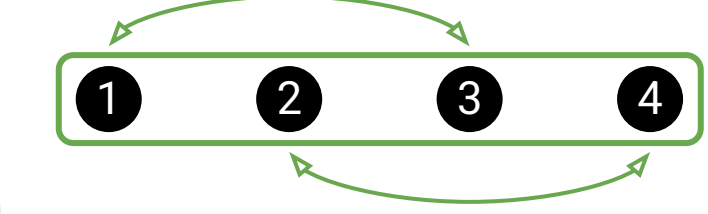
$$\lambda \in \{se, to\}$$

$$V_{\text{res}} = V(\mathbf{r}_1, \mathbf{r}_3) + V(\mathbf{r}_1, \mathbf{r}_4) + V(\mathbf{r}_2, \mathbf{r}_3) + V(\mathbf{r}_2, \mathbf{r}_4) \longrightarrow$$
 No hay interacción (1 - 2) y (3 - 4)

- acoplamientos
- desacoplamientos
- reacoplamientos



Partícula simple



$$\psi_{am_a}\left(\mathbf{r},s\right) = \frac{u_a\left(r\right)}{r} \left[\chi_s Y_{l_a}\left(\hat{r}\right)\right]_{j_a m_a}$$

$$\boxed{\text{Dos partículas}} \quad \begin{matrix} \downarrow & \downarrow \\ \downarrow & \downarrow \end{matrix} \quad \begin{matrix} \downarrow & \downarrow \\ \downarrow & \downarrow \end{matrix} \quad \begin{matrix} \downarrow & \downarrow \\ \downarrow & \downarrow \end{matrix} \quad \begin{matrix} \downarrow & \downarrow \\ \downarrow & \downarrow \end{matrix} \quad \begin{matrix} \downarrow & \downarrow \\ \downarrow & \downarrow \end{matrix} \quad \begin{matrix} \downarrow & \downarrow \\ \downarrow & \downarrow \end{matrix} \quad \begin{matrix} \downarrow & \downarrow \\ \downarrow & \downarrow \end{matrix} \quad \begin{matrix} \downarrow & \downarrow \\ \downarrow & \downarrow \end{matrix} \quad \begin{matrix} \downarrow & \downarrow \\ \downarrow & \downarrow \end{matrix} \quad \begin{matrix} \downarrow & \downarrow \\ \downarrow & \downarrow \end{matrix} \quad \begin{matrix} \downarrow & \downarrow \\ \downarrow & \downarrow \end{matrix} \quad \begin{matrix} \downarrow & \downarrow \\ \downarrow & \downarrow \end{matrix} \quad \begin{matrix} \downarrow & \downarrow \\ \downarrow & \downarrow \end{matrix} \quad \begin{matrix} \downarrow & \downarrow \\ \downarrow & \downarrow \end{matrix} \quad \begin{matrix} \downarrow & \downarrow \\ \downarrow & \downarrow \end{matrix} \quad \begin{matrix} \downarrow & \downarrow \\ \downarrow & \downarrow \end{matrix} \quad \begin{matrix} \downarrow & \downarrow \\ \downarrow & \downarrow \end{matrix} \quad \begin{matrix} \downarrow & \downarrow \\ \downarrow & \downarrow \end{matrix} \quad \begin{matrix} \downarrow & \downarrow \\ \downarrow & \downarrow \end{matrix} \quad \begin{matrix} \downarrow & \downarrow \\ \downarrow & \downarrow \end{matrix} \quad \begin{matrix} \downarrow & \downarrow \\ \downarrow & \downarrow \end{matrix} \quad \begin{matrix} \downarrow & \downarrow \\ \downarrow & \downarrow \end{matrix} \quad \begin{matrix} \downarrow & \downarrow \\ \downarrow & \downarrow \end{matrix} \quad \begin{matrix} \downarrow & \downarrow \\ \downarrow & \downarrow \end{matrix} \quad \begin{matrix} \downarrow & \downarrow \\ \downarrow & \downarrow \end{matrix} \quad \begin{matrix} \downarrow & \downarrow \\ \downarrow & \downarrow \end{matrix} \quad \begin{matrix} \downarrow & \downarrow \\ \downarrow & \downarrow \end{matrix} \quad \begin{matrix} \downarrow & \downarrow \\ \downarrow & \downarrow \end{matrix} \quad \begin{matrix} \downarrow & \downarrow \\ \downarrow & \downarrow \end{matrix} \quad \begin{matrix} \downarrow & \downarrow \\ \downarrow & \downarrow \end{matrix} \quad \begin{matrix} \downarrow & \downarrow & \downarrow \\ \downarrow & \downarrow \end{matrix} \quad \begin{matrix} \downarrow & \downarrow & \downarrow \\ \downarrow & \downarrow \end{matrix} \quad \begin{matrix} \downarrow & \downarrow & \downarrow \\ \downarrow & \downarrow \end{matrix} \quad \begin{matrix} \downarrow & \downarrow & \downarrow \\ \downarrow & \downarrow & \downarrow \end{matrix} \quad \begin{matrix} \downarrow & \downarrow & \downarrow \\ \downarrow & \downarrow & \downarrow \end{matrix} \quad \begin{matrix} \downarrow & \downarrow & \downarrow \\ \downarrow & \downarrow & \downarrow \end{matrix} \quad \begin{matrix} \downarrow & \downarrow & \downarrow \\ \downarrow & \downarrow & \downarrow \end{matrix} \quad \begin{matrix} \downarrow & \downarrow & \downarrow \\ \downarrow & \downarrow & \downarrow \end{matrix} \quad \begin{matrix} \downarrow & \downarrow & \downarrow \\ \downarrow & \downarrow & \downarrow \end{matrix} \quad \begin{matrix} \downarrow & \downarrow & \downarrow \\ \downarrow & \downarrow & \downarrow \end{matrix} \quad \begin{matrix} \downarrow & \downarrow & \downarrow & \downarrow \\ \downarrow & \downarrow & \downarrow \end{matrix} \quad \begin{matrix} \downarrow & \downarrow & \downarrow & \downarrow \\ \downarrow & \downarrow & \downarrow & \downarrow \end{matrix} \quad \begin{matrix} \downarrow & \downarrow & \downarrow & \downarrow \\ \downarrow & \downarrow & \downarrow & \downarrow \end{matrix} \quad \begin{matrix} \downarrow & \downarrow & \downarrow & \downarrow \\ \downarrow & \downarrow & \downarrow & \downarrow \end{matrix} \quad \begin{matrix} \downarrow & \downarrow & \downarrow & \downarrow & \downarrow \\ \downarrow & \downarrow & \downarrow & \downarrow \end{matrix} \quad \begin{matrix} \downarrow & \downarrow & \downarrow & \downarrow & \downarrow \\ \downarrow & \downarrow & \downarrow & \downarrow \end{matrix} \quad \begin{matrix} \downarrow & \downarrow & \downarrow & \downarrow & \downarrow \\ \downarrow & \downarrow & \downarrow & \downarrow & \downarrow \end{matrix} \quad \begin{matrix} \downarrow & \downarrow & \downarrow & \downarrow & \downarrow \\ \downarrow & \downarrow & \downarrow & \downarrow \end{matrix} \quad \begin{matrix} \downarrow & \downarrow & \downarrow & \downarrow & \downarrow \\ \downarrow & \downarrow & \downarrow & \downarrow \end{matrix} \quad \begin{matrix} \downarrow & \downarrow & \downarrow & \downarrow & \downarrow \end{matrix} \quad \begin{matrix} \downarrow & \downarrow & \downarrow & \downarrow & \downarrow \\ \downarrow & \downarrow & \downarrow & \downarrow & \downarrow \end{matrix} \quad \begin{matrix} \downarrow & \downarrow & \downarrow & \downarrow & \downarrow \\ \downarrow & \downarrow & \downarrow & \downarrow \end{matrix} \quad \begin{matrix} \downarrow & \downarrow & \downarrow & \downarrow & \downarrow \end{matrix} \quad \begin{matrix} \downarrow & \downarrow & \downarrow & \downarrow & \downarrow \end{matrix} \quad \begin{matrix} \downarrow & \downarrow & \downarrow & \downarrow & \downarrow \end{matrix} \quad \begin{matrix} \downarrow & \downarrow & \downarrow & \downarrow & \downarrow \end{matrix} \quad \begin{matrix} \downarrow & \downarrow & \downarrow & \downarrow & \downarrow \end{matrix} \quad \begin{matrix} \downarrow & \downarrow & \downarrow & \downarrow & \downarrow \end{matrix} \quad \begin{matrix} \downarrow & \downarrow & \downarrow & \downarrow & \downarrow \end{matrix} \quad \begin{matrix} \downarrow & \downarrow & \downarrow & \downarrow & \downarrow & \downarrow \end{matrix} \quad \begin{matrix} \downarrow & \downarrow & \downarrow & \downarrow & \downarrow & \downarrow \end{matrix} \quad \begin{matrix} \downarrow & \downarrow & \downarrow & \downarrow & \downarrow & \downarrow \end{matrix} \quad \begin{matrix} \downarrow & \downarrow & \downarrow & \downarrow & \downarrow & \downarrow \end{matrix} \quad \begin{matrix} \downarrow & \downarrow & \downarrow & \downarrow & \downarrow \end{matrix} \quad \begin{matrix} \downarrow & \downarrow & \downarrow & \downarrow & \downarrow & \downarrow \end{matrix} \quad \begin{matrix} \downarrow & \downarrow & \downarrow & \downarrow & \downarrow & \downarrow \end{matrix} \quad \begin{matrix} \downarrow & \downarrow & \downarrow & \downarrow & \downarrow & \downarrow \end{matrix} \quad \begin{matrix} \downarrow & \downarrow & \downarrow & \downarrow & \downarrow \end{matrix} \quad \begin{matrix} \downarrow & \downarrow & \downarrow & \downarrow & \downarrow & \downarrow \end{matrix} \quad \begin{matrix} \downarrow & \downarrow & \downarrow & \downarrow & \downarrow & \downarrow \end{matrix} \quad \begin{matrix} \downarrow & \downarrow & \downarrow & \downarrow & \downarrow & \downarrow \end{matrix} \quad \begin{matrix} \downarrow & \downarrow & \downarrow & \downarrow & \downarrow & \downarrow \end{matrix} \quad \begin{matrix} \downarrow & \downarrow & \downarrow & \downarrow & \downarrow & \downarrow & \downarrow \end{matrix} \quad \begin{matrix} \downarrow & \downarrow \end{matrix} \quad \begin{matrix} \downarrow & \downarrow \end{matrix}$$

Cuatro partículas

 $\varphi_{I_1,I_2}^{JM}(\mathbf{x}_1,\mathbf{x}_2,\mathbf{x}_3,\mathbf{x}_4) = [\Psi^{J_1}(\mathbf{x}_1,\mathbf{x}_2)\Psi^{J_2}(\mathbf{x}_3,\mathbf{x}_4)]_{JM}$

Cuatro partículas
$$\varphi^{JM}_{J_1,J_2}(\mathbf{x}_1,\mathbf{x}_3,\mathbf{x}_2,\mathbf{x}_4) = [\Psi^{J_1}(\mathbf{x}_1,\mathbf{x}_3)\Psi^{J_2}(\mathbf{x}_2,\mathbf{x}_4)]_{JM}$$

Dos partículas

 E_{max}

Ayuda

Análisis del 170, 180 y 200

- Base de partícula simple formada por 2 estados ligados, 1 resonancia y estados de dispersión.
- Solo **1 contorno que envuelve una resonancia**, es decir, menos estados de dispersión y, por ende, **menor dimensión en la base de partícula simple**.
- El **criterio de ajuste** es que los estados fundamentales tengan la **parte imaginaria de su energía lo más pequeña posible** respecto a la parte real.
- Los **estados del espectro** del 180 y 200 estaban **formados por** combinaciones lineales de **acoplamientos** donde los más importantes eran **polo polo**. Siendo los polo contorno y contorno contorno irrelevantes.



Estructura del 250

Queremos conseguir

$$\psi_{am_a}(\mathbf{r}, s) = \frac{u_a(r)}{r} \left[\chi_s Y_{l_a}(\hat{r}) \right]_{j_a m_a}$$

El código resuelve

$$\left[-\frac{\hbar^2}{2\mu} \frac{d^2}{dr^2} + \frac{l(l+1)\hbar^2}{2\mu r^2} + V_{WS}(r) + V_{SO}(r) \frac{z}{2} \right] u_{nlj}(r) = E_{nlj} u_{nlj}(r)$$

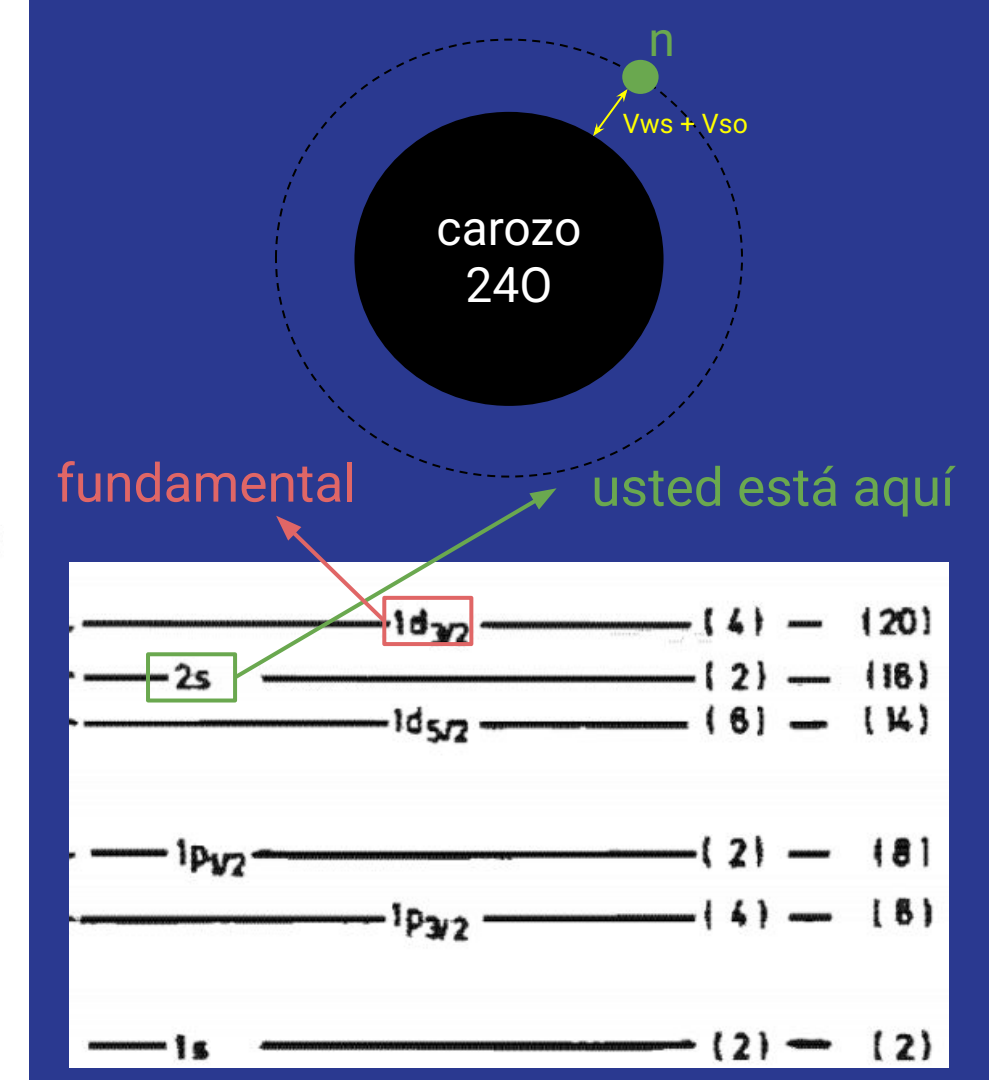
$$V_{WS}(r) = \frac{-V_0}{1 + e^{\frac{r-R}{a}}}$$

$$R = r_0 A^{\frac{1}{3}}$$

$$V_{SO}(r) = \frac{-V_{SO}}{r} \frac{d}{dr} \left(\frac{1}{1 + e^{\frac{r-R}{a}}} \right)$$

Pero necesita (parámetros a ajustar)

 V_{WS} V_{SO} r_0 a



Partiendo de $a=0.72~{\rm fm~y}~r_0=1.25~{\rm fm}$, se llegó a:

(0.607, -0.990)

$$\chi^2 = \frac{1}{N_d} \sum_{i=1} \left(E_i^{calc} - E_i^{exp} \right)^2$$

se pone una **semilla** con los parámetros **ℓ, 2j** y un

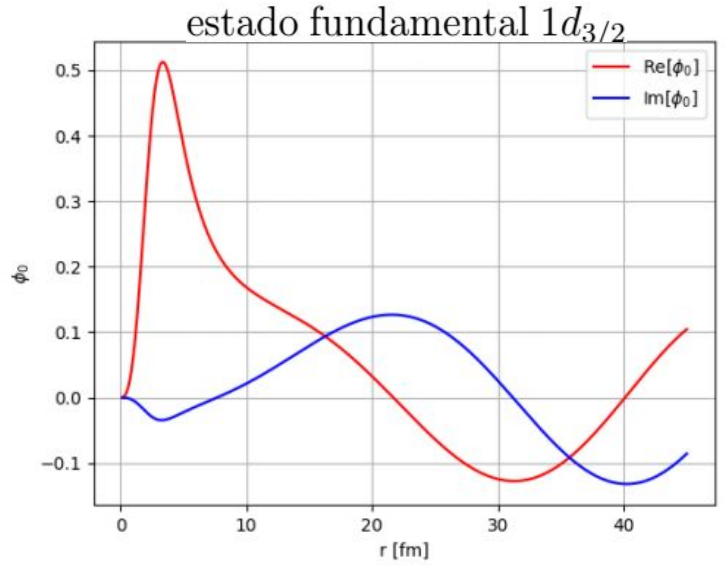
aproximado de la energía. El código encontrará el

V_{WS} [MeV]	$V_{SO} [{ m MeV}]$	r_0 [fm]	a [fm]
44.100	21.821	1.245	0.7

No se minimizó el χ^2 porque no se encontró evidencia experimental de los estados excitados del 250

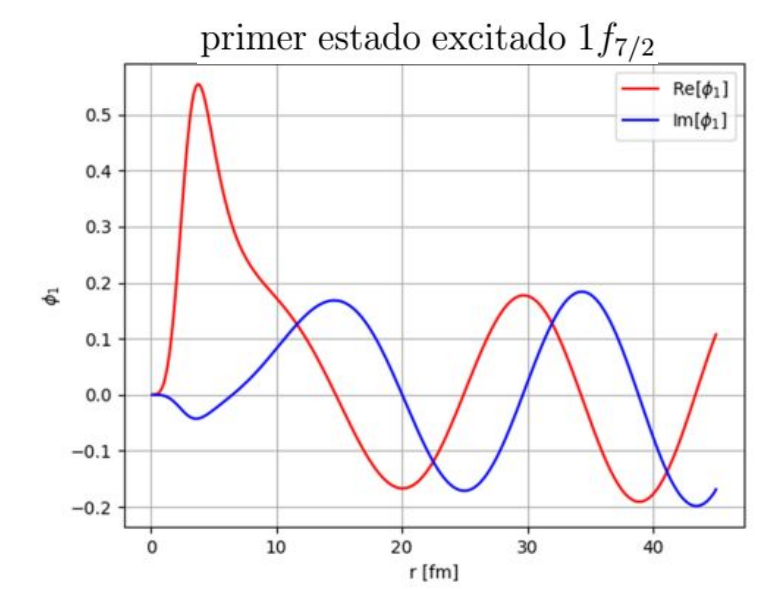
 $2p_{3/2}$

estado con energía más cercana con esos ℓ y 2j $\chi^2 = 0.00085$ Experimental [MeV] Teóricos [MeV] Estados Calculadas [MeV] 0.67 [16](GSM) $1d_{3/2}$ (0.770, -0.045)(0.770, -0.086) [12] 0.725 [15]0.73 [16](GSM)0.749[29] $1f_{7/2}$ (2.738, -0.139)(5.536, -0.0075) [30](GSM)



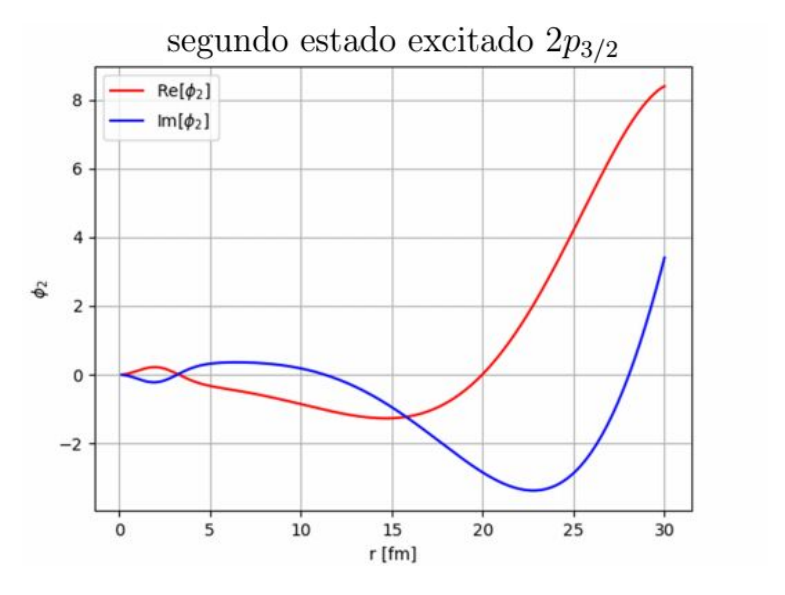
- Oscila lejos del origen, pero posee un comportamiento localizado cerca de este
- Parte **imaginaria no nula**, pero es menor a la parte real cerca de origen

Resonancia angosta



- Oscila lejos del origen, pero posee un comportamiento localizado cerca de este (menos)
- Parte **imaginaria no nula**, pero es menor a la parte real cerca de origen

Resonancia angosta



- Oscila tanto cerca como lejos del origen
- Parte imaginaria no nula y comparable a la parte real cerca del origen

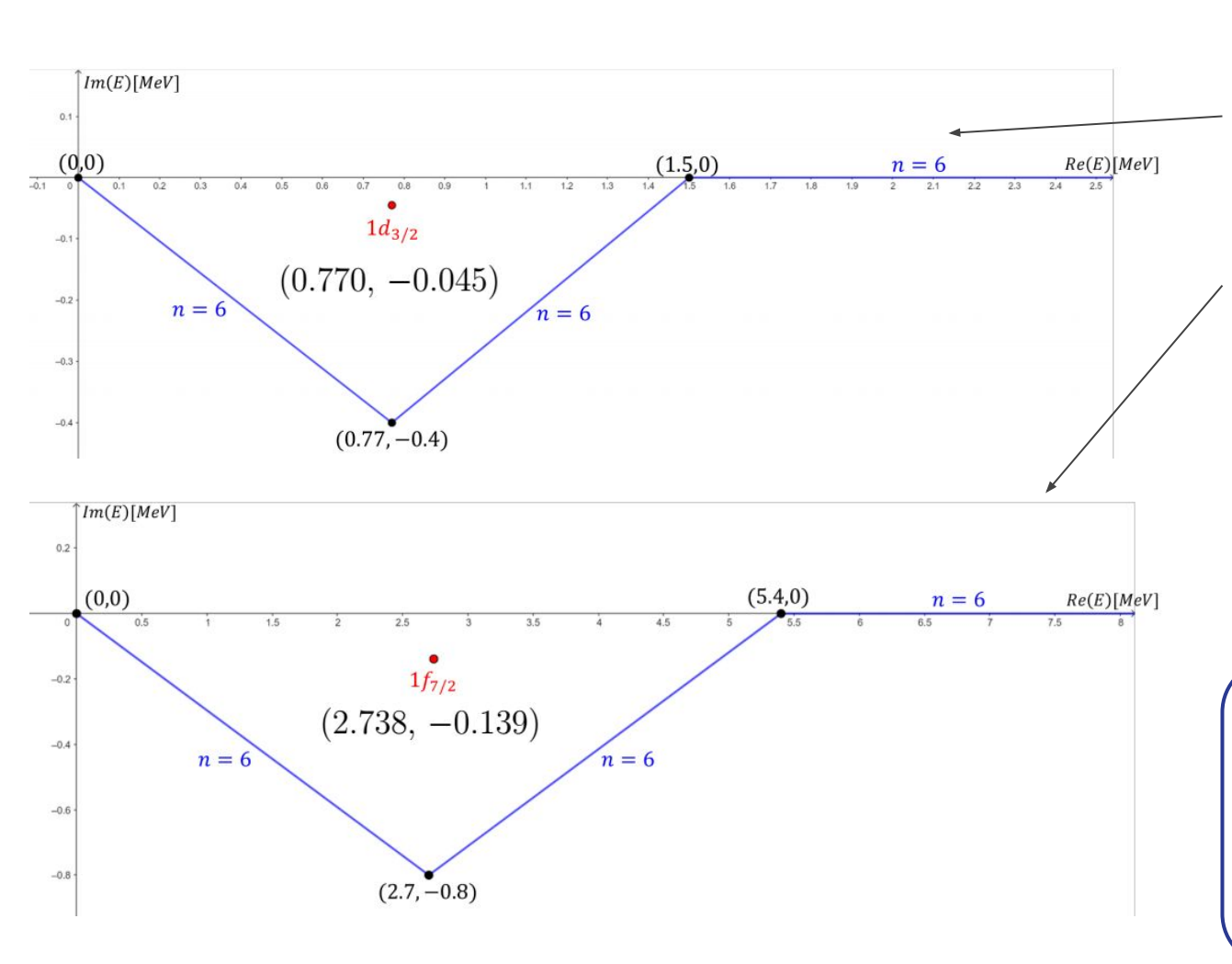
Resonancia ancha

Base de autoestados de partícula simple





Estados de dispersión desde ℓ = 0 a ℓ = 4



Contorno complejo que contiene los estados de dispersión con $\ell = 2$ y j = 3/2

Contorno complejo que contiene los estados de dispersión con $\ell = 3$ y j = 7/2

El **Contorno complejo** para los estados de dispersión con $\ell = 1$ y j = 3/2 fueron dos segmentos sobre el eje real con n = 8. Uno de 0 MeV a 1.2 MeV y otro de 1.2 MeV a 10 MeV

Al resto de estados de dispersión les corresponde un segmento de eje real desde 0 MeV hasta 10 MeV discretizado con un número de meshopints n = 4

Estructura del 260

Queremos conseguir

$$\left|\Psi_{NJM}\right\rangle = \sum_{a < b} X_{ab}^{JN} \left|\Psi_{ab}^{JM}\right\rangle$$

$$\Psi_{ab}^{JM}\left(\mathbf{x}_{1},\mathbf{x}_{2}\right)=\frac{1}{\sqrt{2\left(1+\delta_{ab}\right)}}\left\{ \left[\psi_{a}\left(\mathbf{x}_{1}\right)\psi_{b}\left(\mathbf{x}_{2}\right)\right]_{JM}-\left[\psi_{a}\left(\mathbf{x}_{2}\right)\psi_{b}\left(\mathbf{x}_{1}\right)\right]_{JM}\right\}$$

El código resuelve (aparte de partícula simple)

$$(E_N - \varepsilon_a - \varepsilon_b) X_{ab}^{JN} + \langle \Psi_{ab}^{JM} | V_{res}(\mathbf{r}_1, \mathbf{r}_2) | \Psi_{cd}^{JM} \rangle = 0$$

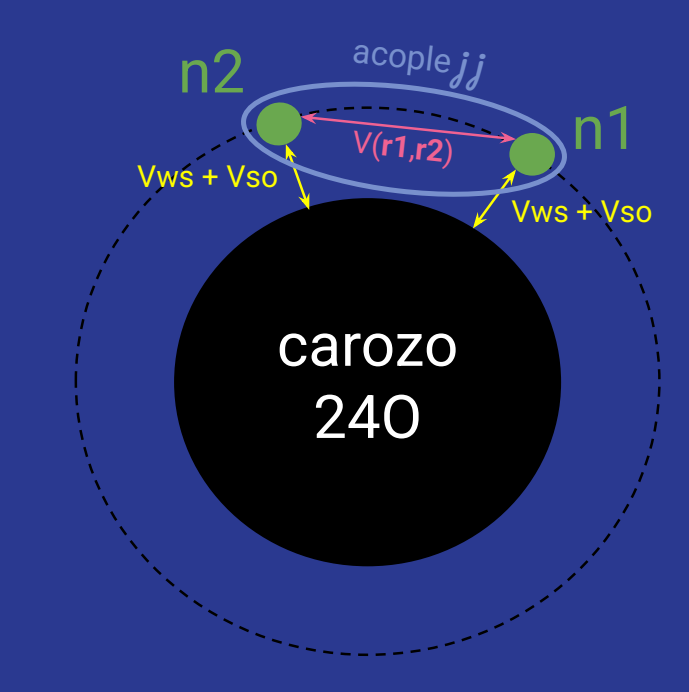
$$V_{res}\left(\mathbf{r}_{1},\mathbf{r}_{2}\right) = V_{se}(\mathbf{r}_{1},\mathbf{r}_{2})P_{se} + V_{to}(\mathbf{r}_{1},\mathbf{r}_{2})P_{to}$$

$$V_{\lambda}(\mathbf{r}_1, \mathbf{r}_2) = V_{\lambda} e^{-\frac{|\mathbf{r}_1 - \mathbf{r}_2|^2}{\beta_{\lambda}^2}}$$

Parámetros de input

$$V_{WS} V_{SO} r_0 a$$
 $\psi_{am_a}(\mathbf{r},s)$

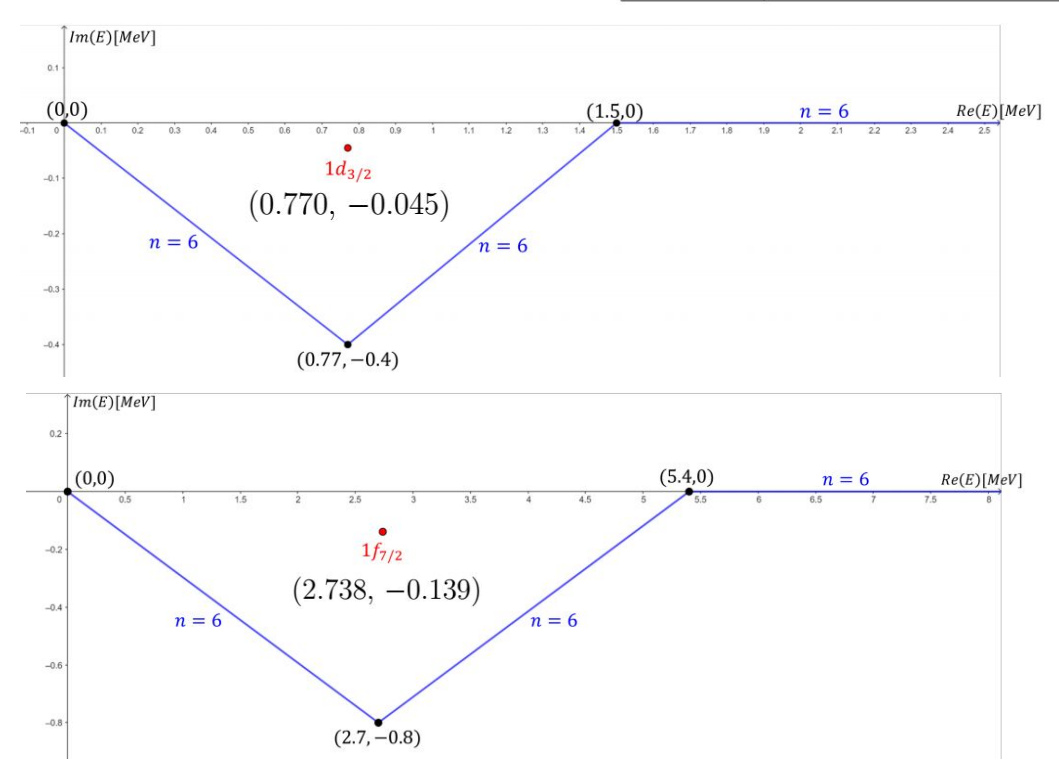
contornos complejos
 $V_{se}, V_{to}, \beta_{se} y \beta_{to}$



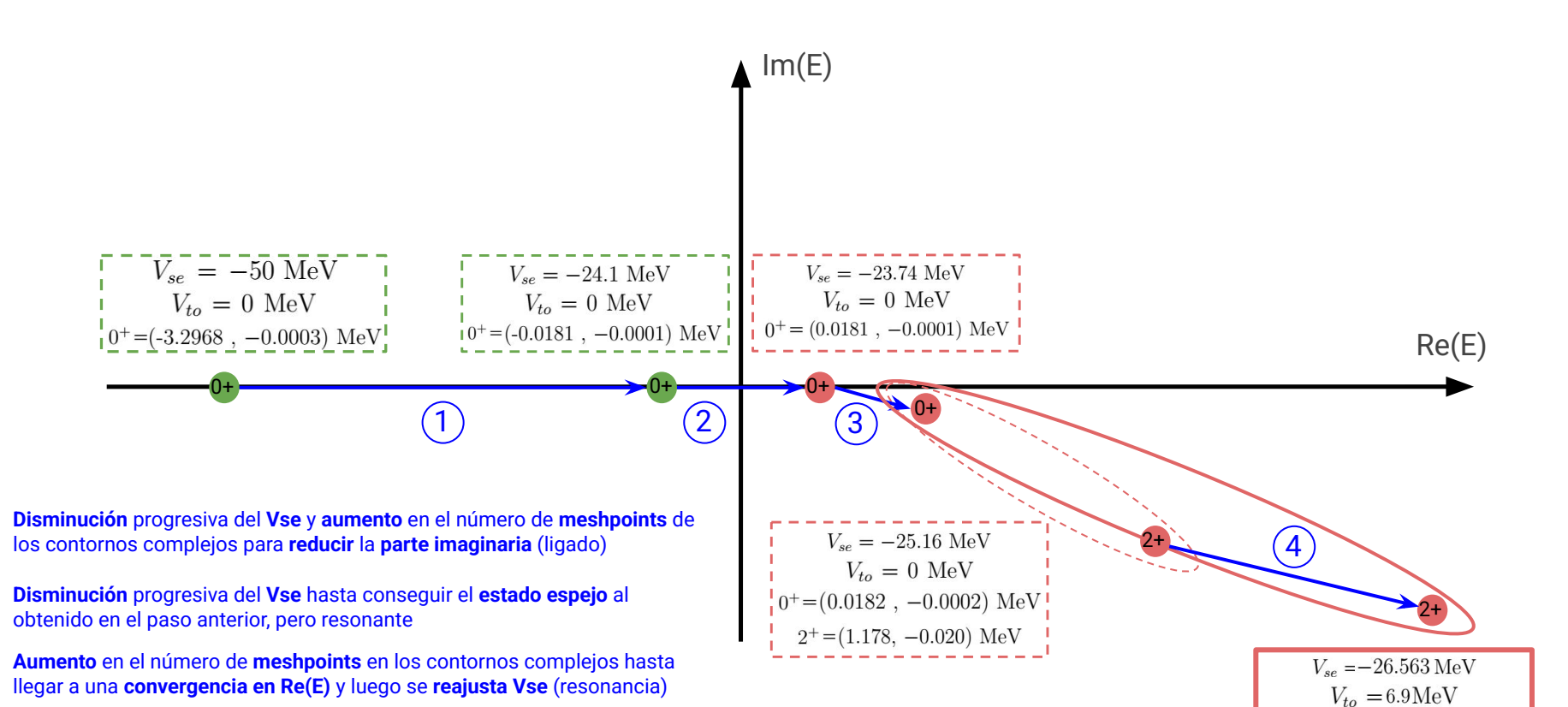
Partimos de:

$V_{WS} [{ m MeV}]$	V_{SO} [MeV]	r_0 [fm]	a [fm]
44.100	21.821	1.245	0.7

Estado	Energías Calculadas [MeV]
$1d_{3/2}$	(0.770, -0.045)
$1f_{7/2}$	(2.738, -0.139)



Procedimiento



 0^{+} = (0.0182, -0.0002) MeV

 2^{+} = (1.281, -0.035) MeV

4) Se modifican los Vto y Vse para ajustar tanto los estados 0+ y 2+

(2)

(3)

Resultados

$V_{se} [{ m MeV}]$	$V_{to} [{ m MeV}]$	β_{se} [fm]	β_{to} [fm]
-26.563	6.9	2.2	2.2

J^{π}	Energías Calculadas [MeV]	Exp [MeV]	Teóricas [MeV]
0+	(0.0181, -0.0002)	0.018 [15]	0.04 [16]
			0.05 [16]
			(0.021, -0.056) [13]
2+	(1.281, -0.035)	1.28 [15]	1.12 [16]
			1.13 [16]
			1.354 [32]
4+	(5.296, -0.233)	_	-

- La parte real de la energía de los estados 0+ y 2+ coinciden con los valores experimentales
- Por esto mismo se puede concluir que, al menos la parte real de la energía del estado 4+ es una buena predicción

$$|\Psi_{NJM}\rangle = \sum_{a < b} X_{ab}^{JN} |\Psi_{ab}^{JM}\rangle$$

J^{π}	$(1d_{3/2})^2$	$(1f_{7/2})^2$	$1d_{3/2}, d_{3/2}^{c1}$	$1d_{3/2}, d_{(3/2)}^{c2}$	$1d_{3/2}, d_{3/2}^{c3}$	$1d_{3/2}, d_{3/2}^{c4}$
0+	(0.915 , -0.053)	(-0.349, 0.022)	(0,0)	(0.140, 0.162)	(0.152 , 0.082)	(0.116, 0.036)
2+	(0.988, -0.007)	(-0.133, 0.020)	(0.138, 0.013)	(0,0)	(0, 0)	(0,0)
4+	(1.0003, -0.0005)	(0,0)	(0,0)	(0,0)	$(0\;,0)$	(0,0)

- Los estados de dispersión más importantes son aquellos que pertenecen al contorno del estado 1d3/2
- El **orden de los acoplamientos** es

 polo-polo, polo-contorno y

 contorno-contorno
- No hay estados de dispersión importantes relacionados con el estado eliminado de la base 2p3/2

Estructura del 280

Queremos conseguir

$$\varphi_{JM}(\mathbf{x}_{1}, \mathbf{x}_{2}, \mathbf{x}_{3}, \mathbf{x}_{4}) = \sum_{J_{1}, J_{2}} Z_{J_{1}, J_{2}}^{J} \varphi_{J_{1}, J_{2}}^{JM}(\mathbf{x}_{1}, \mathbf{x}_{2}, \mathbf{x}_{3}, \mathbf{x}_{4})$$

$$\varphi_{J_{1}, J_{2}}^{JM}(\mathbf{x}_{1}, \mathbf{x}_{2}, \mathbf{x}_{3}, \mathbf{x}_{4}) = [\Psi^{J_{1}}(\mathbf{x}_{1}, \mathbf{x}_{2})\Psi^{J_{2}}(\mathbf{x}_{3}, \mathbf{x}_{4})]_{JM}$$

El código resuelve (aparte de partícula simple)

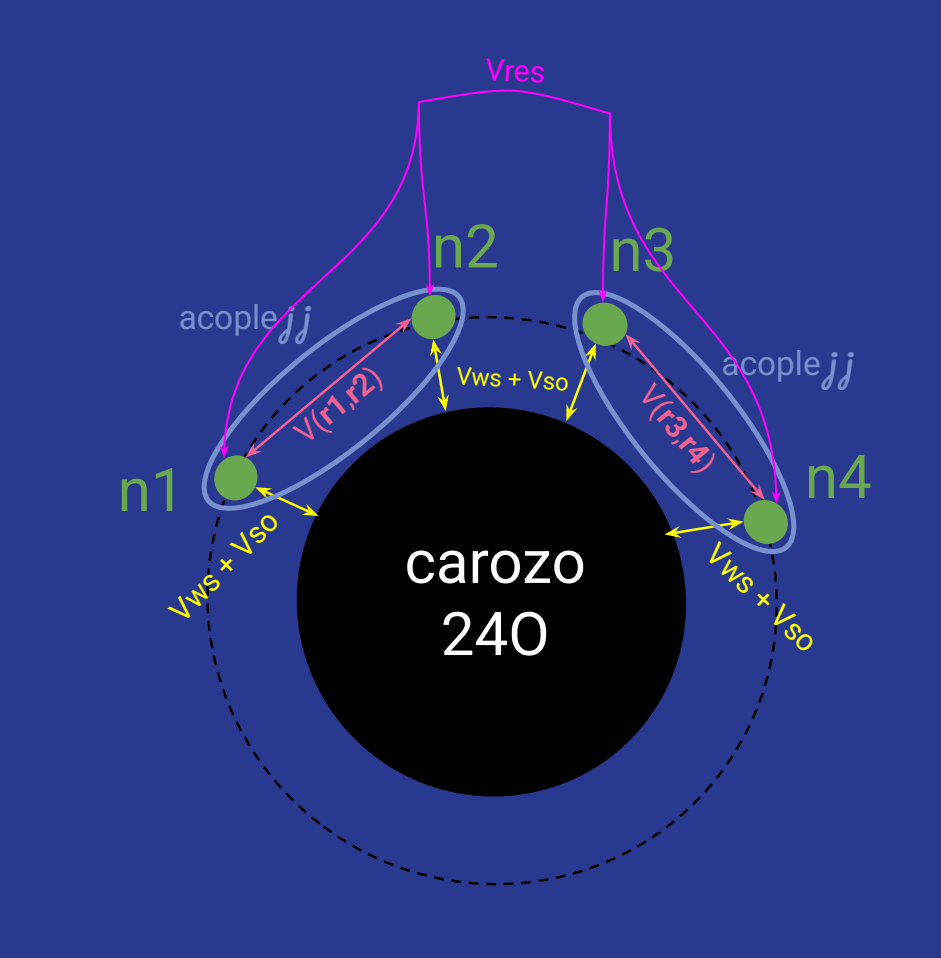
$$\sum_{J_1',J_2'} \left[(E_{J_1} + E_{J_2} - E_J) \delta_{J_1J_1'} \delta_{J_2J_2'} + 4 \langle \varphi_{J_1,J_2}^{JM} | V(\mathbf{r}_1, \mathbf{r}_3) | \varphi_{J_1',J_2'}^{JM} \rangle \right] Z_{J_1',J_2'}^J = 0$$

$$V_{\text{res}}(\mathbf{r}, \mathbf{r}') = V_{se}(\mathbf{r}, \mathbf{r}') P_{se} + V_{to}(\mathbf{r}, \mathbf{r}') P_{to}$$

$$V_{\lambda}(\mathbf{r}, \mathbf{r}') = V_{\lambda} e^{-\frac{|\mathbf{r} - \mathbf{r}'|^2}{\beta_{\lambda}^2}}$$

Parámetros de input

$$V_{WS} V_{SO} r_0 a$$
 $\psi_{am_a}(\mathbf{r},s)$
 $V_{se}, V_{to}, \beta_{se} \text{ y } \beta_{to}[2n]$
contornos complejos
 $V_{se}, V_{to}, \beta_{se} \text{ y } \beta_{to}[4n]$

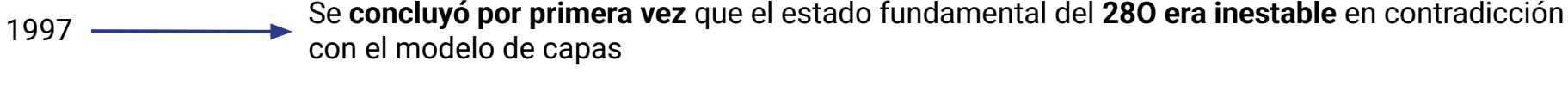


Partimos de:

2024

V_{WS} [MeV]	V_{SO} [MeV]	r_0 [fm]	a [fm]
44.100	21.821	1.245	0.7
$V_{se}^{2n} [\mathrm{MeV}]$	$V_{to}^{2n} [\mathrm{MeV}]$	$\beta_{se}^{2n}[\mathrm{fm}]$	$\beta_{to}^{2n} [\text{fm}]$
-26.563	6.9	2.2	2.2

0.045)
(0.045)
(0.139)



2006 — Se **predijo un valor** para la energía del **estado fundamental** del 280 de (0.345 , −0.007) MeV

2017 — Se **predijo un valor para la parte real de la energía** del estado fundamental del 280 de **0.458 MeV**

Se predijo un valor para la parte real de la energía del estado fundamental del 280 de **0.7 MeV** pero **débilmente no ligado**Primera **observación experimental** del 280. Resultó en una energía de (0.46, -0.35) MeV (la

Primera observación experimental del 280. Resultó en una energía de $(0.46\ , -0.35)\ {
m MeV}$ (la parte imaginaria es una cota superior)

Se predijo teóricamente que el estado fundamental tiene un 97% de sus neutrones acoplados a J = 0. Esto es una característica de un Condensado de Bose-Einstein

Comparaciones de tiempo de ejecución del 200 y el 280:

Se pone en **igualdad de condiciones** al 200 y al 280:

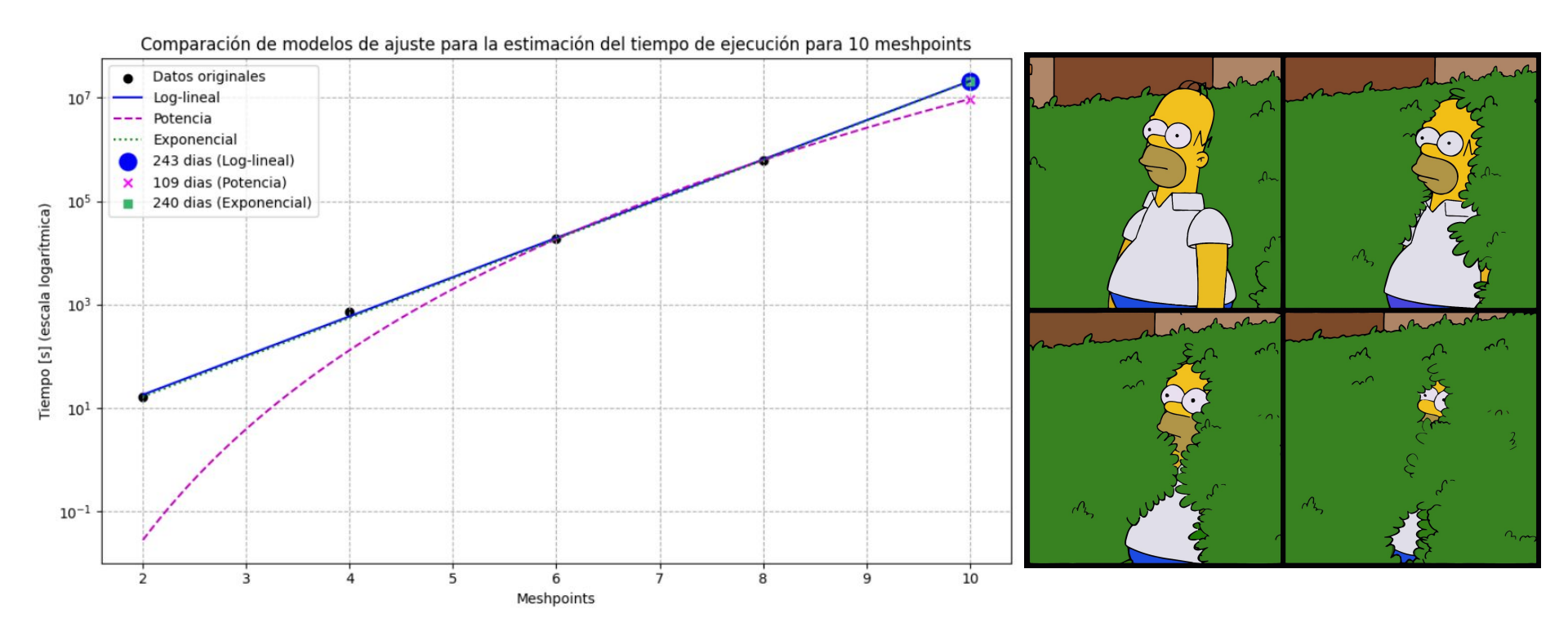
- Se **elimina la resonancia 1f7/2** de la base del 280.
- Solo se ponen meshpoints en los segmentos más cercanos a la resonancia.
- Solo se utiliza el 68% del rango de energías de la base de dos neutrones.

Se optimiza la base de dos partículas del 280 para acortar el tiempo de ejecución:

- se puso una cota para J = 4.
- se **eliminaron los estados con J impar** de la base de dos partículas.

	$E_{max}^{20} = 10 \text{ MeV}$	$E_{max}^{28} = 5.6 \text{ MeV}$
Meshpoints	Tiempo ²⁰ O [d,h,',"]	Tiempo ²⁸ O [d,h,',"]
2	47"	38"
4	11'	25' 30"
6	1h 49'	12h
8	10h	-

Meshpoints	Tiempo ²⁰ O [d,h,',"]	Tiempo ²⁸ O [d,h,',"]
2	47"	14"
4	11'	12'
6	1h 49'	5h
8	10h	7d 10h



Resultados

$V_{se} [{ m MeV}]$	$V_{to} [{ m MeV}]$	$E(0^+)$ [MeV]
-40	0	(-1.295, -1.252)
-30	0	(0.044, -0.559)
-25	0	(0.165, -0.527)
-20	0	(0.285, -0.495)
-15	0	(0.404, -0.4636)
-14	0	(0.428, -0.457)
-13.0	0	(0.452, -0.451)
-12.9	0	(0.454, -0.450)
-12.8	0	(0.457, -0.450)
-12.7	0	(0.459, -0.449)

Energías Calculadas [MeV]	Experimental [MeV]	Teóricos [MeV]
(0.459, -0.449)	(0.46, -0.35) [38]	(0.345, -0.007) [14](HBUSD)
		0.458 [16](DMRG)
		0.7 [40](GSM)

- **Concuerda con el valor experimental**. Aunque la parte imaginaria de este último sea una cota superior
- La parte real de la energía discrepa en un 25% respecto al resultado con el de la ref. [14]
- El resultado **se aleja** mucho de la **parte imaginaria** planteada en las **ref.[14, 40]**, que predicen un estado débilmente no ligado.
- Coincide con el valor de la ref. [16]

resultó con una amplitud de (99.96, 0) para los dineutrones acoplados en J = 0 (trabajo de 2024)

Observaciones

Debido al excesivo tiempo de ejecución se tuvo que hacer simplificaciones sobre la base de una y dos partículas:

- Se quitó una resonancia de la base
- Cutoff J = 4 para el momento angular de la base de dos partículas
- Se quitaron de la base de dos partículas los estados con J impar

No se utilizó el Vto para ajustar el estado fundamental

El potencial Vres de este trabajo no contiene componentes tensoriales y espín-órbita, como si lo tienen algunos de los trabajos citados

Con una interacción más realista se podría haber calculado la energía del estado fundamental con mayor exactitud, sobre todo la parte imaginaria.

Conclusione

5

En conjunto, los resultados alcanzados confirman que el Gamow Shell Model, en combinación con la representación de Berggren, constituye una herramienta robusta y versátil para el estudio de sistemas nucleares situados cerca o más allá de la línea de goteo de neutrones.

El modelo ha demostrado capacidad para reproducir con notable precisión la localización de resonancias y capturar las tendencias evolutivas en la estructura de los isótopos del oxígeno a medida que se incrementa el número de neutrones. No obstante, el análisis también revela desafíos significativos que merecen atención en el futuro. Entre ellos se destacan la sensibilidad de las anchuras calculadas con la discretización de los contornos del continuo y el impacto potencial de interacciones residuales más complejas, incluyendo componentes tensoriales y de espín-órbita.

Abordar estas limitaciones permitiría mejorar la descripción cuantitativa de las propiedades de decaimiento y consolidar aún más el uso del GSM como marco unificado para explorar la física de núcleos exóticos.

MUCHAS GRACIAS

Estructura del 170

Queremos conseguir

$$\psi_{am_a}(\mathbf{r}, s) = \frac{u_a(r)}{r} \left[\chi_s Y_{l_a}(\hat{r}) \right]_{j_a m_a}$$

El código resuelve

$$\left[-\frac{\hbar^2}{2\mu} \frac{d^2}{dr^2} + \frac{l(l+1)\hbar^2}{2\mu r^2} + V_{WS}(r) + V_{SO}(r) \frac{z}{2} \right] u_{nlj}(r) = E_{nlj} u_{nlj}(r)$$

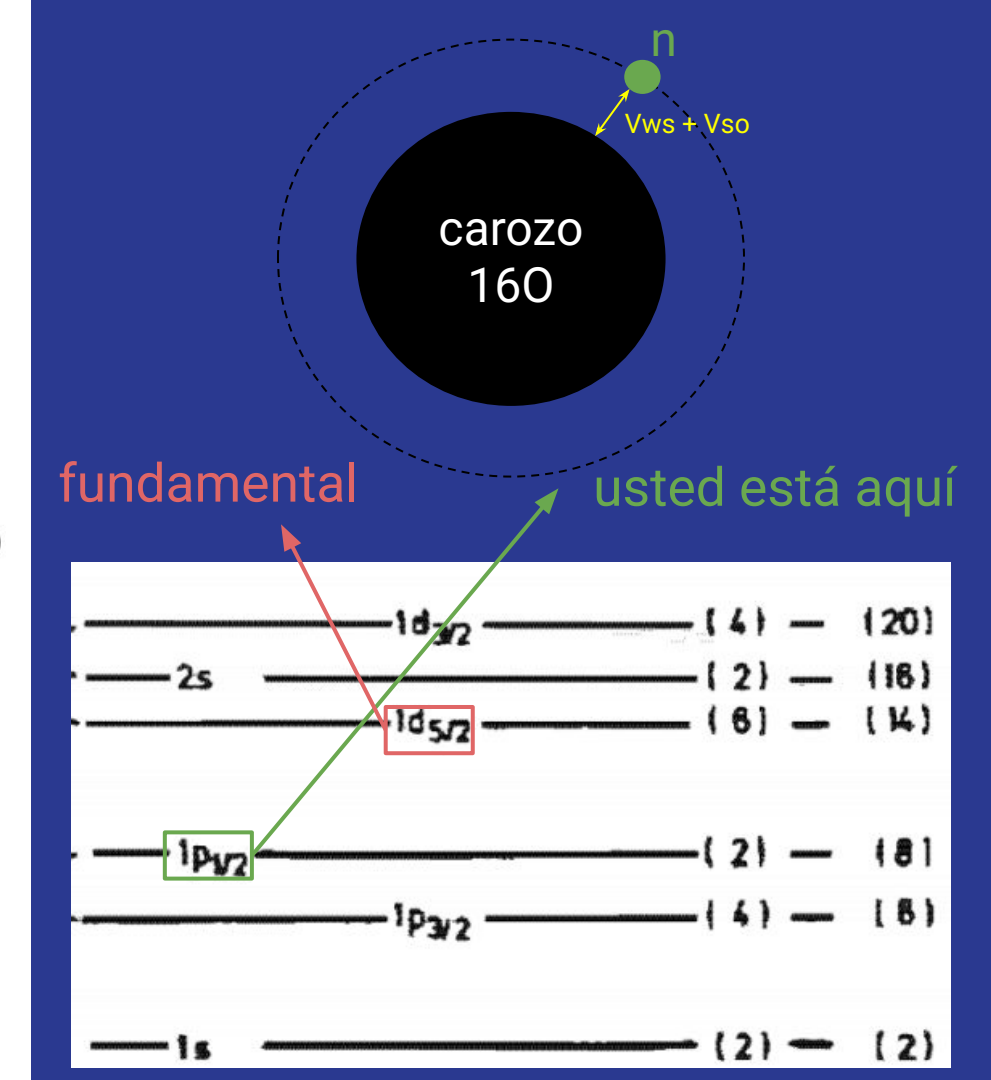
$$V_{WS}(r) = \frac{-V_0}{1 + e^{\frac{r-R}{a}}}$$

$$R = r_0 A^{\frac{1}{3}}$$

$$V_{SO}(r) = \frac{-V_{SO}}{r} \frac{d}{dr} \left(\frac{1}{1 + e^{\frac{r-R}{a}}} \right)$$

Pero necesita (parámetros a ajustar)

 V_{WS} V_{SO} r_0 a



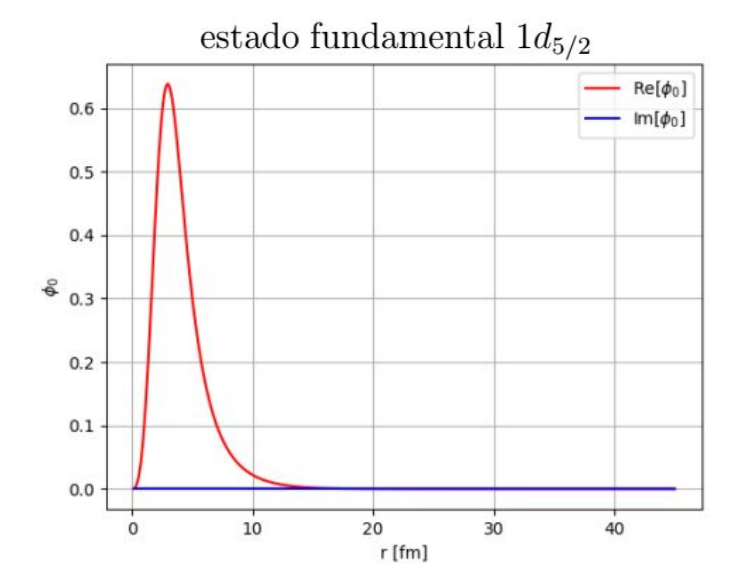
Partiendo de $a=0.72~{\rm fm~y}~r_0=1.25~{\rm fm}$, se llegó a:

$$V_{WS} [{
m MeV}] \quad V_{SO} [{
m MeV}] \quad r_0 [{
m fm}] \quad a [{
m fm}]$$
 52.824 13.492 1.245 0.7

 $\chi^2 = \frac{1}{N_J} \sum_{i}^{a} \left(E_i^{calc} - E_i^{exp} \right)^2$

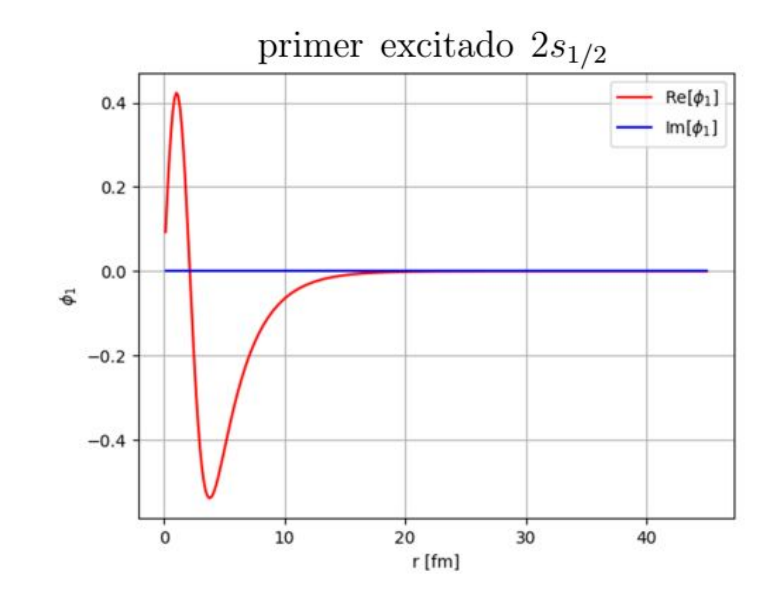
se pone una **semilla** con los parámetros **l**, **2j** y un **aproximado de la energía**. El código encontrará el

estado con energía más cercana con esos ℓ y 2j $\chi^2 = 0.00085$ Estado Energía Calculada [MeV]Energía experimental [9] [MeV](-4.146,0)(-4.143, 0) [1] $1d_{5/2}$ $2s_{1/2}$ (-3.328, 0)(-3.27, 0) [41] $1d_{3/2}$ (0.937, -0.061)(0.944, -0.090) [42] $1f_{7/2}$ (6.551, -0.025) [43] (6.549, -1.278)



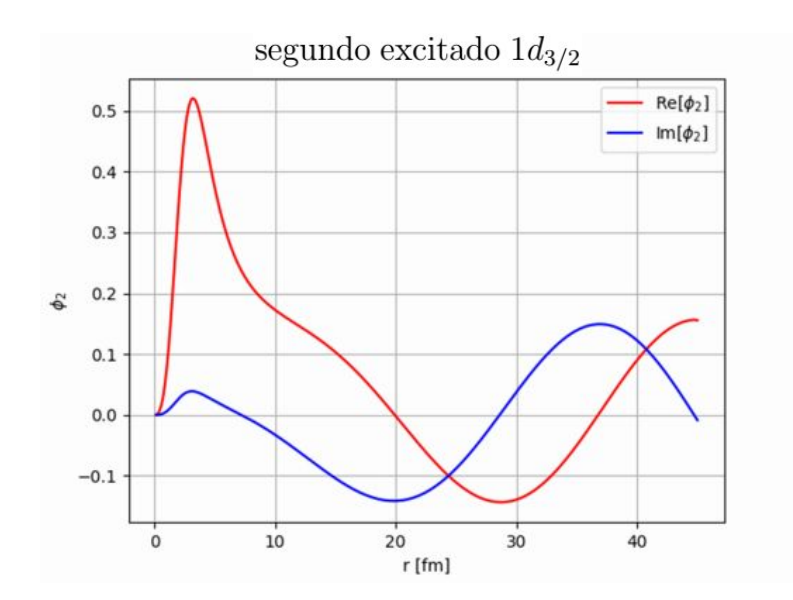
- Localizado cerca del origen
- Tendencia a cero en el infinito
- Parte imaginaria nula
- Sin nodos además de u(0)=0, es
 decir, tiene número cuántico n = 1

Estado Ligado



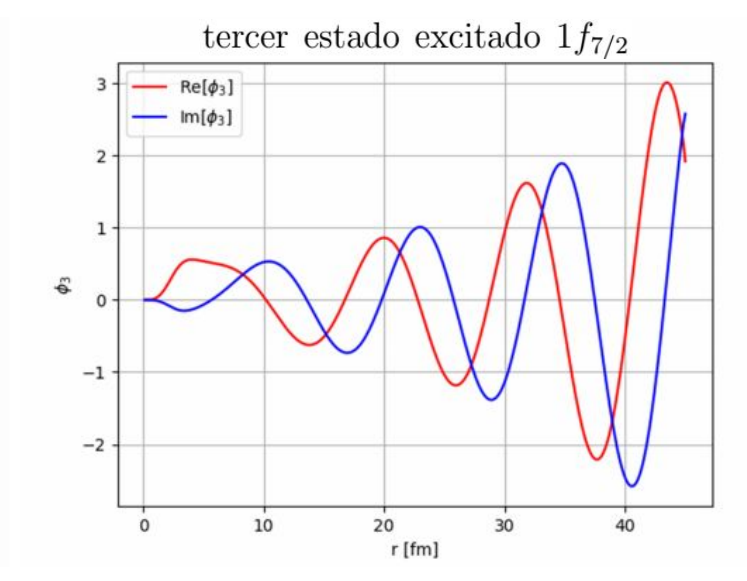
- Localizado cerca del origen
- **Tendencia a cero** en el infinito
- Parte imaginaria nula
- Un nodo además de u(0)=0, es
 decir, tiene número cuántico n = 2

Estado Ligado



- Oscila lejos del origen, pero posee un comportamiento localizado cerca de este
- Parte imaginaria no nula, pero es menor a la parte real cerca de origen

Resonancia angosta



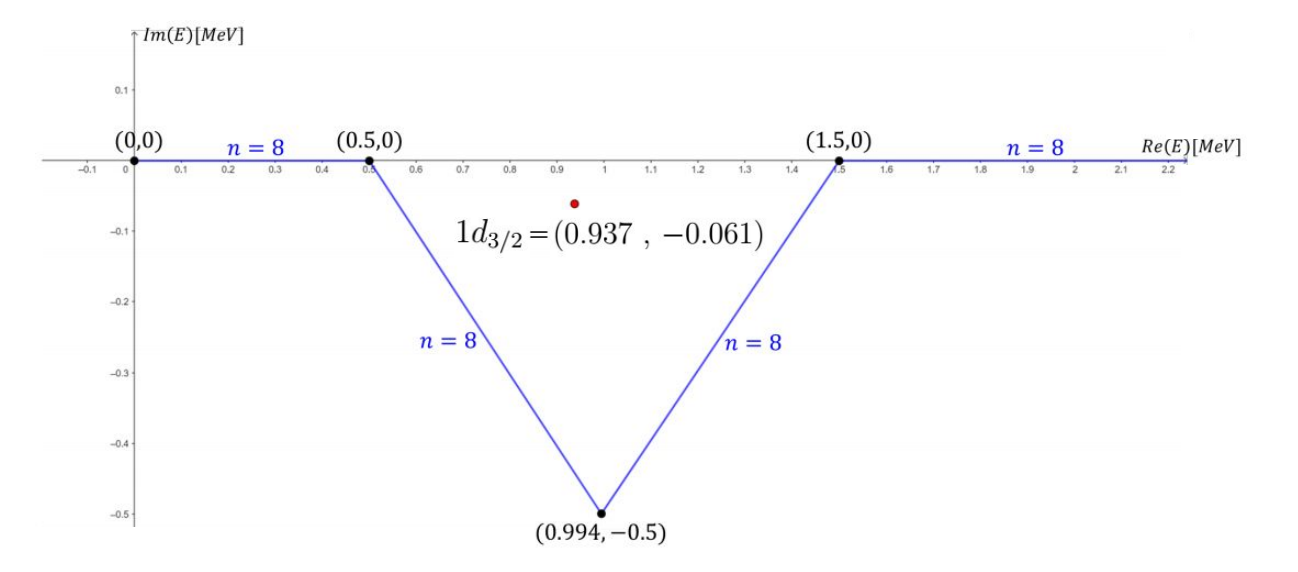
- Oscila tanto cerca como lejos del origen
- Parte imaginaria no nula y comparable a la parte real cerca del origen

Resonancia ancha

Base de autoestados de partícula simple



Estados de dispersión desde ℓ = 0 a ℓ = 4



Contorno complejo que contiene los estados de dispersión con $\ell = 2$ y j = 3/2

Al resto de estados de dispersión les corresponde un segmento de eje real desde 0 MeV hasta 10 MeV discretizado con un número de meshopints n = 2

Estructura del 180

Queremos conseguir
$$\left(\left| \Psi_{NJM} \right\rangle = \sum_{a \leq b} X_{ab}^{JN} \left| \Psi_{ab}^{JM} \right\rangle \right)$$

$$\Psi_{ab}^{JM}\left(\mathbf{x}_{1}, \mathbf{x}_{2}\right) = \frac{1}{\sqrt{2\left(1+\delta_{ab}\right)}} \left\{ \left[\psi_{a}\left(\mathbf{x}_{1}\right)\psi_{b}\left(\mathbf{x}_{2}\right)\right]_{JM} - \left[\psi_{a}\left(\mathbf{x}_{2}\right)\psi_{b}\left(\mathbf{x}_{1}\right)\right]_{JM} \right\}$$

El código resuelve (aparte de partícula simple)

$$(E_N - \varepsilon_a - \varepsilon_b) X_{ab}^{JN} + \langle \Psi_{ab}^{JM} | V_{res}(\mathbf{r}_1, \mathbf{r}_2) | \Psi_{cd}^{JM} \rangle = 0$$

$$V_{res}\left(\mathbf{r}_{1},\mathbf{r}_{2}\right) = V_{se}(\mathbf{r}_{1},\mathbf{r}_{2})P_{se} + V_{to}(\mathbf{r}_{1},\mathbf{r}_{2})P_{to}$$

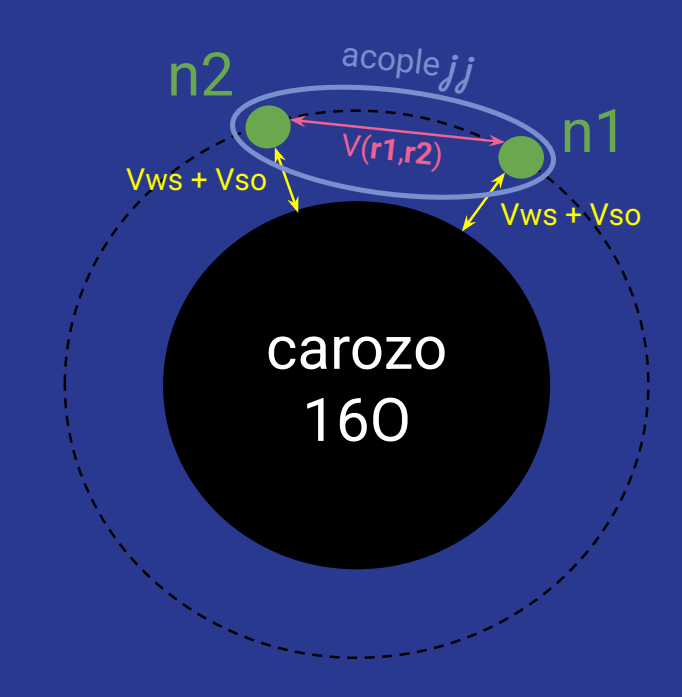
$$V_{\lambda}(\mathbf{r}_1, \mathbf{r}_2) = V_{\lambda} e^{-\frac{|\mathbf{r}_1 - \mathbf{r}_2|^2}{\beta_{\lambda}^2}}$$

Parámetros de input

$$V_{WS} V_{SO} r_0 a$$
 $\psi_{am_a}(\mathbf{r},s)$

contornos complejos

$$V_{se}, V_{to}, \beta_{se} y \beta_{to}$$



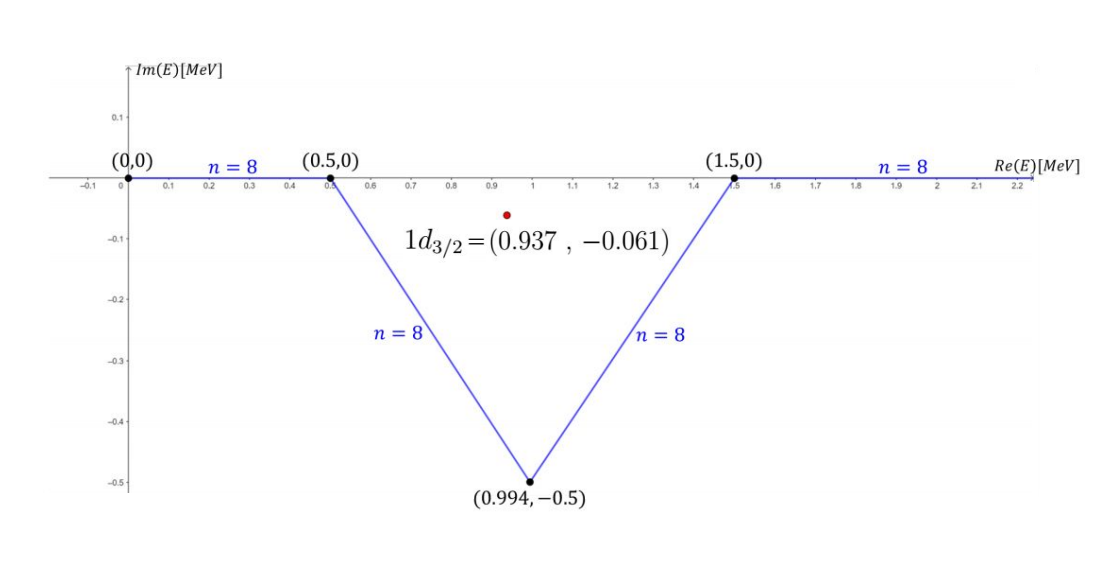
Partimos de:

$V_{WS} [{ m MeV}]$	$V_{SO} [{ m MeV}]$	r_0 [fm]	a [fm]
52.824	13.492	1.245	0.7

Estado	Energía Calculada $[MeV]$
$1d_{5/2}$	(-4.146, 0)
$2s_{1/2}$	(-3.328, 0)
$1d_{3/2}$	(0.937, -0.061)

Los contornos complejos deben cumplir que:

- Parte no real del contorno con un ancho mayor a 1 MeV
- La parte superior del contorno tiene que estar lo relativamente alejada de la resonancia.
- Recomendable que la parte de los contornos que no está sobre el eje real sea lo más simétrica posible respecto a la resonancia.



Procedimiento

- Se hace un primer ajuste **sin contornos** complejos del estado fundamental sólo **utilizando** V_{se} y β_{se} (dejando V_{to} y β_{to} **nulos**)
- Se **agregan los contornos complejos** y se aumentan los números de meshpoints buscando **minimizar el la parte imaginaria** del estado fundamental (porque es un estado ligado)
- Se **reajusta** el estado fundamental **modificando** V_{to} y β_{to} .
- Se busca la combinación de los parámetros V_{se} , β_{se} , V_{to} y β_{to} que **minimice** χ^2

V_{se} [MeV]	$V_{to} [{ m MeV}]$	β_{se} [fm]	β_{to} [fm]
-32.21	0	2.2	2.2

	7	
$V_{se} [{ m MeV}]$	$V_{to} [{ m MeV}]$	χ^2
-32.21	0	0.11
-33.259	4.278	1.40
-33.535	5.703	0.16
-34.065	8.555	0.21

$$\chi^2 = 0.11$$

Estado	Energías Calculadas [MeV]	Experimental [MeV]
0+	(-12.188, 0)	(-12.188, 0) [9]
2+	(-9.747, 0)	(-10.206, 0) [44]
4+	(-9, 0)	(-8.634, 0) [44]

$$\left| \left| \Psi_{NJM} \right\rangle = \sum_{a \le b} X_{ab}^{JN} \left| \Psi_{ab}^{JM} \right\rangle \right|$$

J^{π}	$(1d_{5/2})^2$	$(2s_{1/2})^2$	$(1d_{3/2})^2$
0+	(0.936, 0)	(0.307, 0)	(0.163, -0.022)
2+	(0.998, 0)	(0,0)	(0,0)
4+	(1,0)	(0,0)	(0,0)

- Todos los estado tienen mayoritariamente aporte por acoplamientos de ambos neutrones en el estado fundamental de partícula simple
- El estado fundamental es el único que tiene aportes de los acoplamientos de los neutrones en estados excitados de partícula simple
- No hay aporte relevante de acoplamientos con estados de dispersión

Estructura del 200

Queremos conseguir

$$\varphi_{J_1,J_2}^{JM}(\mathbf{x}_1,\mathbf{x}_2,\mathbf{x}_3,\mathbf{x}_4) = [\Psi^{J_1}(\mathbf{x}_1,\mathbf{x}_2)\Psi^{J_2}(\mathbf{x}_3,\mathbf{x}_4)]_{JM}$$

$$\varphi_{JM}(\mathbf{x}_1,\mathbf{x}_2,\mathbf{x}_3,\mathbf{x}_4) = \sum_{J_1,J_2} Z_{J_1,J_2}^J \varphi_{J_1,J_2}^{JM}(\mathbf{x}_1,\mathbf{x}_2,\mathbf{x}_3,\mathbf{x}_4)$$

El código resuelve (aparte de partícula simple)

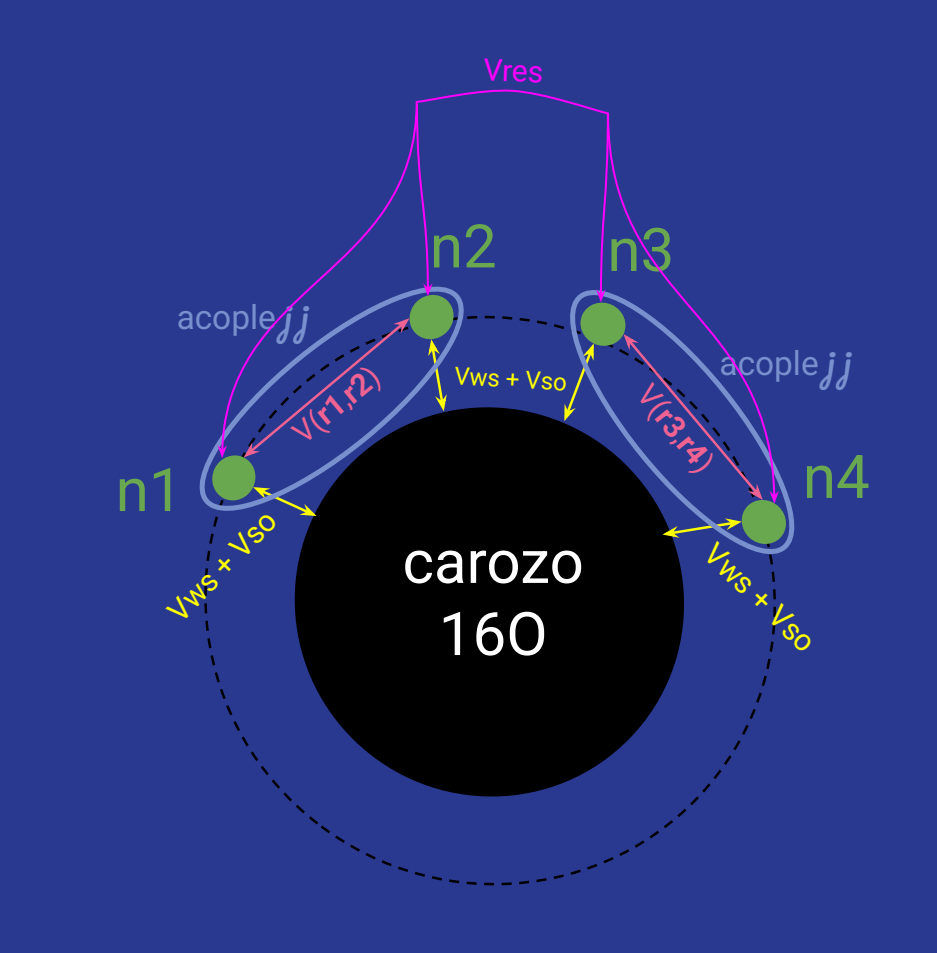
$$\sum_{J_1',J_2'} \left[(E_{J_1} + E_{J_2} - E_J) \delta_{J_1J_1'} \delta_{J_2J_2'} + 4 \langle \varphi_{J_1,J_2}^{JM} | V(\mathbf{r}_1, \mathbf{r}_3) | \varphi_{J_1',J_2'}^{JM} \rangle \right] Z_{J_1',J_2'}^J = 0$$

$$V_{\text{res}}(\mathbf{r}, \mathbf{r}') = V_{se}(\mathbf{r}, \mathbf{r}') P_{se} + V_{to}(\mathbf{r}, \mathbf{r}') P_{to}$$

$$V_{\lambda}(\mathbf{r}, \mathbf{r}') = V_{\lambda} e^{-\frac{|\mathbf{r} - \mathbf{r}'|^2}{\beta_{\lambda}^2}}$$

Parámetros de input

$$V_{WS} V_{SO} r_0 a$$
 $\psi_{am_a}(\mathbf{r},s)$
 $V_{se}, V_{to}, \beta_{se} \text{ y } \beta_{to}(2n)$
contornos complejos
 $V_{se}, V_{to}, \beta_{se} \text{ y } \beta_{to}(4n)$



Procedimiento

- 1. Se hace un primer ajuste **sin contornos** complejos del estado fundamental sólo **utilizando** V_{se} y β_{se} (dejando V_{to} y β_{to} **nulos**) y E_{max} = 100 MeV
- 2. Se **agregan los contornos complejos** y se baja el E_{max} para luego reajusta el valor de energía con el V_{se}
- 3. Se busca una convergencia una convergencia en la parte real de la energía aumentando E_{max}

1

$V_{se} [{ m MeV}]$	$V_{to} [{ m MeV}]$	$E(0^+)$ [MeV]
20	0	(-23.3285, -0.201)
15	0	(-23.548, -0.200)
12	0	(-23.687, -0.200)
11	0	(-23.735, -0.200)
10.6	0	(-23.754, -0.200)
10.63	0	(-23.752, -0.200)

3

$V_{se} [{ m MeV}]$	$V_{to} [{ m MeV}]$	E_{max} [MeV]	$E(0^+)$ [MeV]
10.63	0	3.5	(-24.4800, -0.0004)
12.63	0	3.5	(-23.7350, -0.0003)
12.63	0	4	(-23.7360, -0.0003)
12.63	0	4.5	(-23.7360, -0.0003)
12.63	0	5	(-23.7400, -0.0003)

$$(-23.7400 , -0.0003) \, \mathrm{MeV}$$
VS
 $23.752 \, \mathrm{MeV}$

- Todos los estado tienen mayoritariamente aporte por acoplamientos de ambos neutrones en el estado fundamental de partícula simple
- El acoplamiento más significativo es aquel con los dineutrones en estado fundamental.
 Luego le sigue la configuración en la que ambos están en el estado 2+
- No hay aporte significativo de los acoplamientos que impliques estados de dispersión

4	$\varphi_{JM}(\mathbf{x}_1, \mathbf{x}_2, \mathbf{x}_3, \mathbf{x}_4) = \sum_{I} Z_{J_1, J_2}^{J} \varphi_{J_1, J_2}^{JM}(\mathbf{x}_1, \mathbf{x}_2, \mathbf{x}_3, \mathbf{x}_4)$
	$J_1,\!J_2$

J^{π}	Amplitudes
$0^+, 0^+$	(0.995, 0.000)
$0^+, 0_c^+$	(0.009, 0.000)
$0_c^+, 0^+$	(0.009, 0.000)
$0_c^+, 0_c^+$	(-0.005, 0.000)
$2^+, 2^+$	(-0.094, 0.000)
$2^+, 2_c^+$	(-0.011, 0.000)
$2_c^+, 2^+$	(-0.011, 0.000)
$2_c^+, 2_c^+$	(0.003, 0.000)
$\boxed{4^+,4^+}$	(0.007, 0.000)

Comparación del espectro real de 260 con cómo sería si el estado **0+ fuera ligado**:

J^{π}	Energías Calculadas [MeV]	Espectro académico [MeV]
0+	(0.0181, -0.0002)	(-0.0184, -0.0003)
2+	(1.281, -0.035)	(1.275, -0.034)
4+	(5.296, -0.233)	(5.291, -0.232)

$$\Delta E(0_R^+,0_A^+) = 0.0365 \text{ MeV}, \ \Delta E(2_R^+,2_A^+) = 0.006 \text{ MeV}$$

$$\Delta E(4_R^+,4_A^+) = 0.005 \text{ MeV}$$

Real:

Académico:

$$\Delta E(0^+, 2^+) = 1.263 \text{ MeV}$$
 $\Delta E(0^+, 2^+) = 1.293 \text{ MeV}$ $\Delta E(2^+, 4^+) = 4.015 \text{ MeV}$ $\Delta E(2^+, 4^+) = 4.016 \text{ MeV}$

$$|\Psi_{NJM}\rangle = \sum_{a \le b} X_{ab}^{JN} |\Psi_{ab}^{JM}\rangle$$

J^{π}	$(1d_{3/2})^2$	$(1f_{7/2})^2$	$1d_{3/2}, d_{3/2}^{c1}$	$1d_{3/2}, d_{(3/2)}^{c2}$	$1d_{3/2}, d_{3/2}^{c3}$	$1d_{3/2}, d_{3/2}^{c4}$
0+	(0.915, -0.053)	(-0.349, 0.022)	(0,0)	(0.140 , 0.162)	(0.152, 0.082)	(0.116, 0.036)
2+	(0.988, -0.007)	(-0.133, 0.020)	(0.138, 0.013)	$(0\;,0)$	(0,0)	(0,0)
4+	(1.0003, -0.0005)	(0,0)	(0,0)	(0,0)	(0,0)	(0,0)
J^{π}	$(1d_{3/2})^2$	$(1f_{7/2})^2$	$1d_{3/2}, d_{3/2}^{c1}$	$1d_{3/2}, d_{(3/2)}^{c2}$	$1d_{3/2}, d_{3/2}^{c3}$	$1d_{3/2}, d_{3/2}^{c4}$
J^{π} 0^{+}	$(1d_{3/2})^2$ (0.912, -0.055)	$(1f_{7/2})^2$ (-0.352, 0.022)	$1d_{3/2}, d_{3/2}^{c1}$ $(0, 0)$	$1d_{3/2}, d_{(3/2)}^{c2}$ $(0.141, 0.162)$	$1d_{3/2}, d_{3/2}^{c3}$ $(0.152, 0.082)$	

Los acoplamientos más importantes que forman los estados 0+, 2+ y 4+ tampoco varían de forma significativa en ambos casos

Comparación del espectro real de 260 con un trabajo previo:

J^{π}	ref. [34]	Este trabajo
0+	(0.018, -0.177)	(0.0181, -0.0002)

El resultado de este trabajo es más realista porque se trató con un Vres central y separable en una dos componentes Vse y Vto. En cambio en el trabajo previo se lo trató como un potencial escalar separable que depende de de un solo parámetro

$$\left|\Psi_{NJM}\right\rangle = \sum_{a \le b} X_{ab}^{JN} \left|\Psi_{ab}^{JM}\right\rangle$$

J^{π}	$(1d_{3/2})^2$	$(1f_{7/2})^2$	$1d_{3/2}, d_{3/2}^{c1}$	$1d_{3/2}, d_{(3/2)}^{c2}$	$1d_{3/2}, d_{3/2}^{c3}$	$1d_{3/2}, d_{3/2}^{c4}$
0+	(0.915, -0.053)	(-0.349, 0.022)	(0,0)	(0.140, 0.162)	(0.152, 0.082)	(0.116, 0.036)
2+	(0.988, -0.007)	(-0.133, 0.020)	(0.138, 0.013)	(0,0)	(0,0)	(0,0)
4+	(1.0003, -0.0005)	(0,0)	(0,0)	(0,0)	(0,0)	(0,0)

$J^{\pi} = 0^+$	$1d_{3/2}$	$1f_{7/2}$	$2p_{3/2}$	$2p_{1/2}$	$2g_{9/2}$
Polo-Polo	(0.847, -0.167)	(0.163, -0.011)	-	_	_
Polo-Cont	(-0.007, 0.127)	(0.003, 0.029)		- -y	-
Cont-Cont	(-0.002, 0.002)	(0, 0.001)	(-0.020 , 0.016)	(0.005, 0.001)	(0.005, 0.001)

En el trabajo previo hay acoplamientos contorno-contorno relevantes. Esto se debe a que, en ese trabajo, la discretización del contorno era n = 60, lo que lleva a que se sumen contribuciones menores hasta llegar a ser relevantes